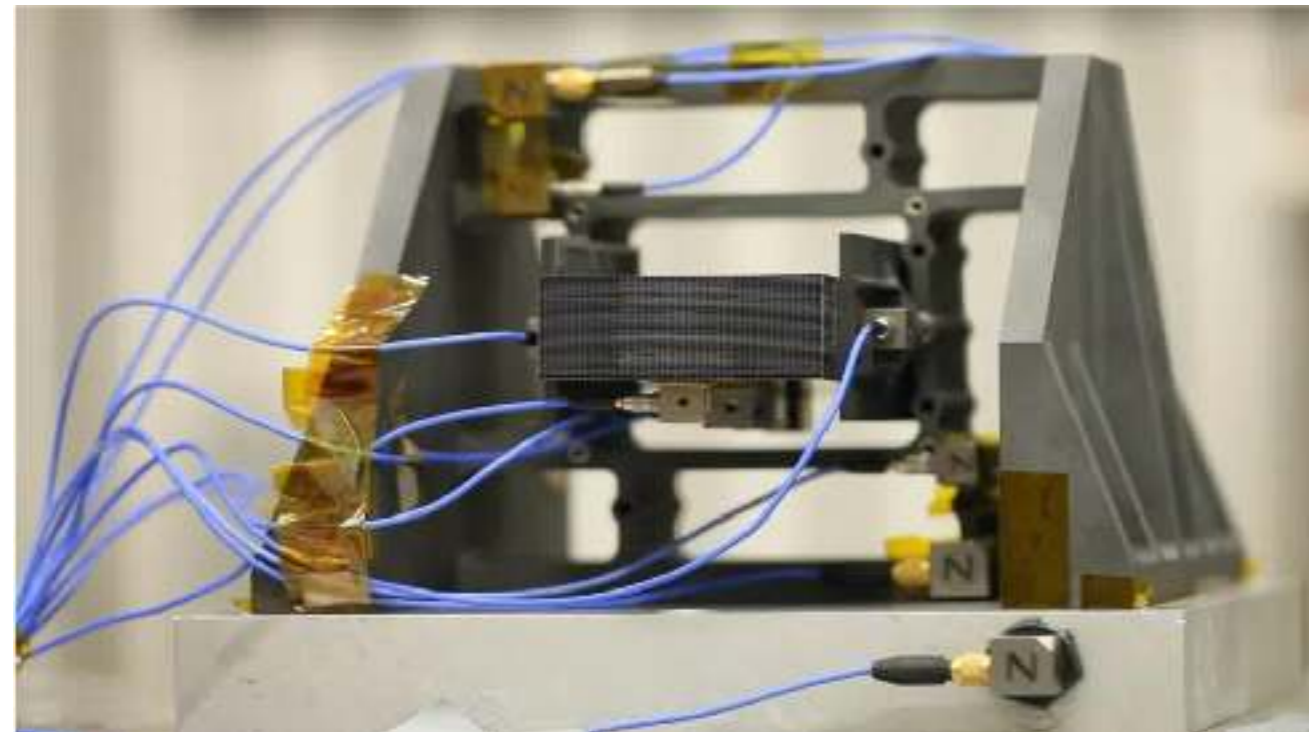




# LP AIT - UE 3 - Tests d'environnement

# Essais en vibrations

J. Averseng - J.F. Dubé



# Objectifs

- **Mener un essai vibratoire:**
  - de caractérisation
  - de type « qualification »
  
- **Outils :**
  - Savoir modéliser une structure simple et simuler sa réponse sous environnement vibratoire
  - Analyser et comprendre une spécification d'essai vibratoire

# Organisation

2 x 3h CM/TD

2 x 3h de TP

**Evaluation** : rapports de TP

# Plan

- 1. Introduction - contexte spatial (ECSS) - essais vibratoires**
- 2. Éléments de dynamique des structures**
  - système masse ressort 1 ddl
  - vibrations libres & forcées, amortissement
  - cas n-ddl (MEF) —> notion de transfert FRF
- 3. Mesures dynamiques**
  - chaîne de mesure : forces, accélérations, capteurs, conditionnement
  - excitations : pot vibrant, choc (marteau)
  - traitement de signaux
- 4. TP : caractérisation + reproduction d'un environnement vibratoire**
  - sinus balayé
  - aléatoire
  - choc

# Travaux dirigés

- **TD1** - Système 1 puis 2 DDL : fréquences propres, modes (équation, scilab), amortissement, constitution modèle FRF
- **TD2** - Calcul de réponse à partir d'un modèle FRF pour différents signaux :
  - sinus forcé-> amplitude, déphasage
  - choc (dirac, demi-sinus...)
  - bruit uniforme, filtré (BF, HF, large bande...)
- **TD3** - Calcul de formes modales à partir de 6 FRF AZ/AZ (anneau comat)
- **TD4** - Traitement signal temporel scilab -> niveau RMS (sinus, bruit), spectre, PSD, autocorrelation, cross-correlation, calcul FRF, fit —> modèle FRF
- **TD5** - ECSS -> exigence PSD -> paramétrage excitation et chaîne de mesure (gain capteur, ampli)

# Travaux pratiques

## 1. **Analyse modale** d'une structure avec pot vibrant

- Matériel : pot 60 N + table vibrante + générateur WF + 2 accéléromètres + scilab
- Calcul modes système 2 DDL (résultat TD)
- Appropriation de modes en sinus + mesure accélération (temporel + RMS) + traitement FFT scilab
- Excitation random -> mesure —> traitement FFT scilab —> FRF (mean)

## 2. **Analyse modale** par marteau choc

- Matériel : PC + OROS + 1 accéléromètre IEPE + 1 marteau choc
- sur carte électronique retournée
- mesure FRF en différents points : 12
- choix de 2 pics -> reconstitution forme modale
- variation conditions limites + composants —> 4 configurations

## 3. **Essai caractérisation** + « **qualification** » sur maquette nanosat

- Pot tiravib 200 N + HP 3562A + 2 accéléromètres
- Mesures FRF en différents points
  - balayage sinus : global + zooms sur pics
  - aléatoire lin-spec : global
- Essais « qualif » aléatoire + calcul niveau pour imposer PSD constante en entrée sur 100-400 Hz

# Cours





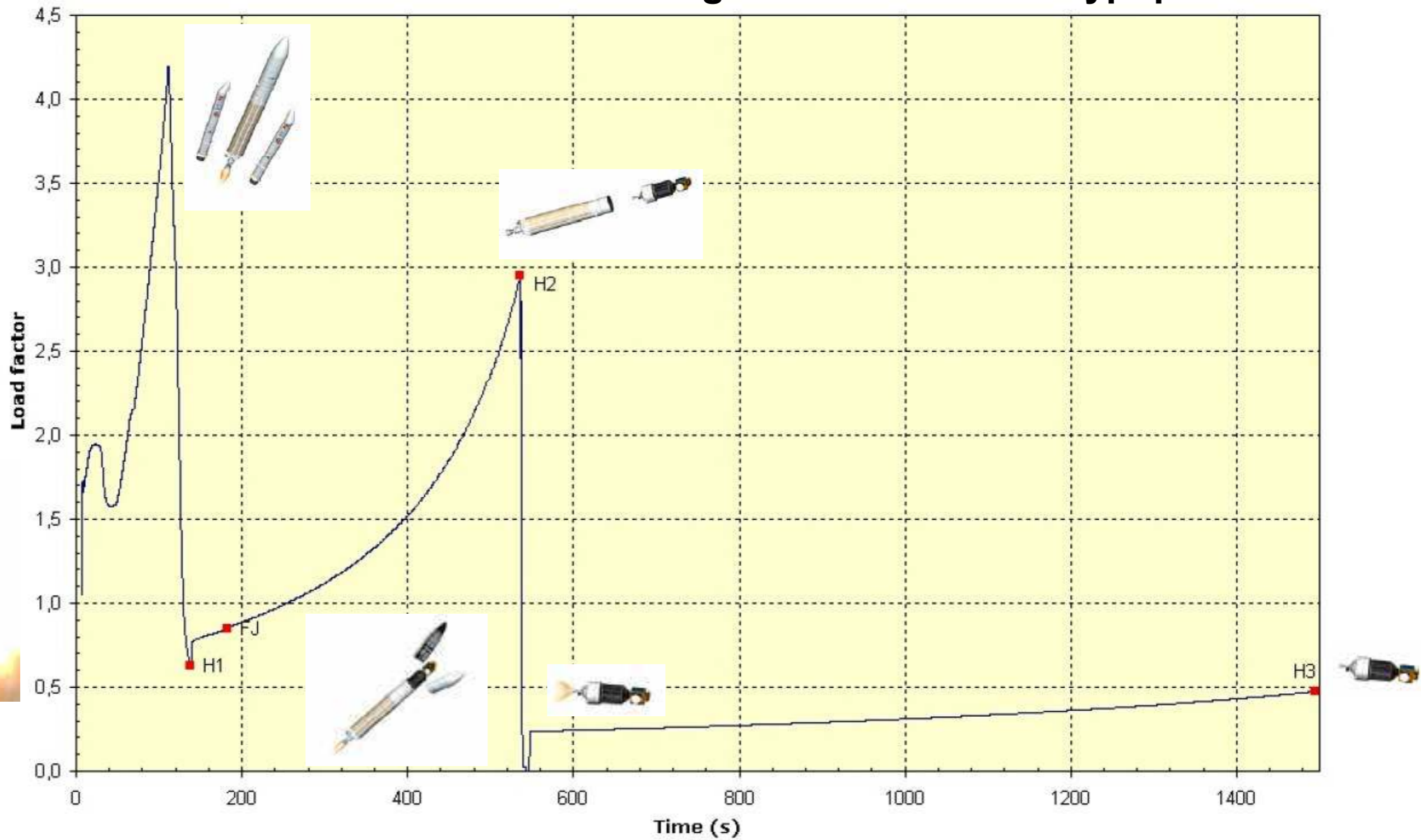
# 1.Introduction

Chaque événement de la vie d'un engin spatial introduit des **charges structurelles** :

- Transport
- Surpression démarrage moteurs
- Décollage
- Bruits moteurs + vibration induites dans la structure
- Changements de régime (MECO...)
- Instabilité Pogo (PrOpulsion Generated Oscillations)
- Bruits aérodynamiques
- Mouvements de fluides dans les réservoirs
- Séparation des étages et de la coiffe
- Chocs pyrotechniques
- Charges induites par les manoeuvres
- Opérations de vol, des équipements



# Ariane 5 - d'accélération longitudinale - niveaux typiques



# 1.Introduction

Le défi consiste à identifier les événements qui peuvent être critiques, à **prévoir les charges** causées par chacune des sources de charges indépendantes pour ces événements, puis à combiner les charges prévues de manière appropriée **pour la conception**.

Les charges structurelles dépendent d'**environnements complexes et aléatoires** et des conceptions de l'engin spatial et du lanceur. Les charges prévues utilisées pour la conception dépendent de la qualité de la **simulation mathématique des environnements** et du **modèle de structure**.



# 1.Introduction

L'analyse des charges est doublement importante car c'est la base des **charges d'essai** statiques et sinusoïdales utilisées pour **vérifier la résistance des structures** primaires et de nombreuses structures secondaires.

D'autre part, la **prévision des réponses** est importante non seulement pour évaluer la capacité de la structure à survivre, mais également pour fournir des **environnements de conception et de test** ainsi que des exigences pour les unités et les sous-systèmes.



# 1.Introduction

En résumé, il s'agit de pouvoir :

- **Définir un environnement mécanique** par l'analyse des charges :
  - couplages lanceur/plateforme
  - vibrations aléatoires, vibroacoustique
  - simulation de tests (ex : balayage sinus = FRF)
  - ...
- **Identifier une structure**, par analyse et tests :
  - analyse modale (calcul de fréquences, modes propres,...)
  - recherche de modes/analyse modale expérimentale
  - mise à jour de paramètres de modèles et validation
- **Evaluer les résultats de test** de qualification et d'acceptabilité (sinus, aléatoire, bruit aérien, choc)



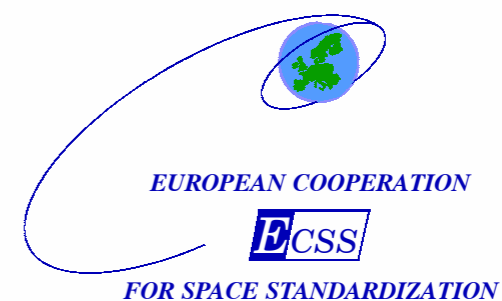


## Space engineering

Spacecraft mechanical loads  
analysis handbook

Manuel de bonnes  
pratiques  
(500 p)

ECSS Secretariat  
ESA-ESTEC  
Requirements & Standards Division  
Noordwijk, The Netherlands



## Space engineering

Testing

Norme : définitions des  
exigences, niveaux, etc..  
(160 p)

ECSS Secretariat  
ESA-ESTEC  
Requirements & Standards Division  
Noordwijk, The Netherlands

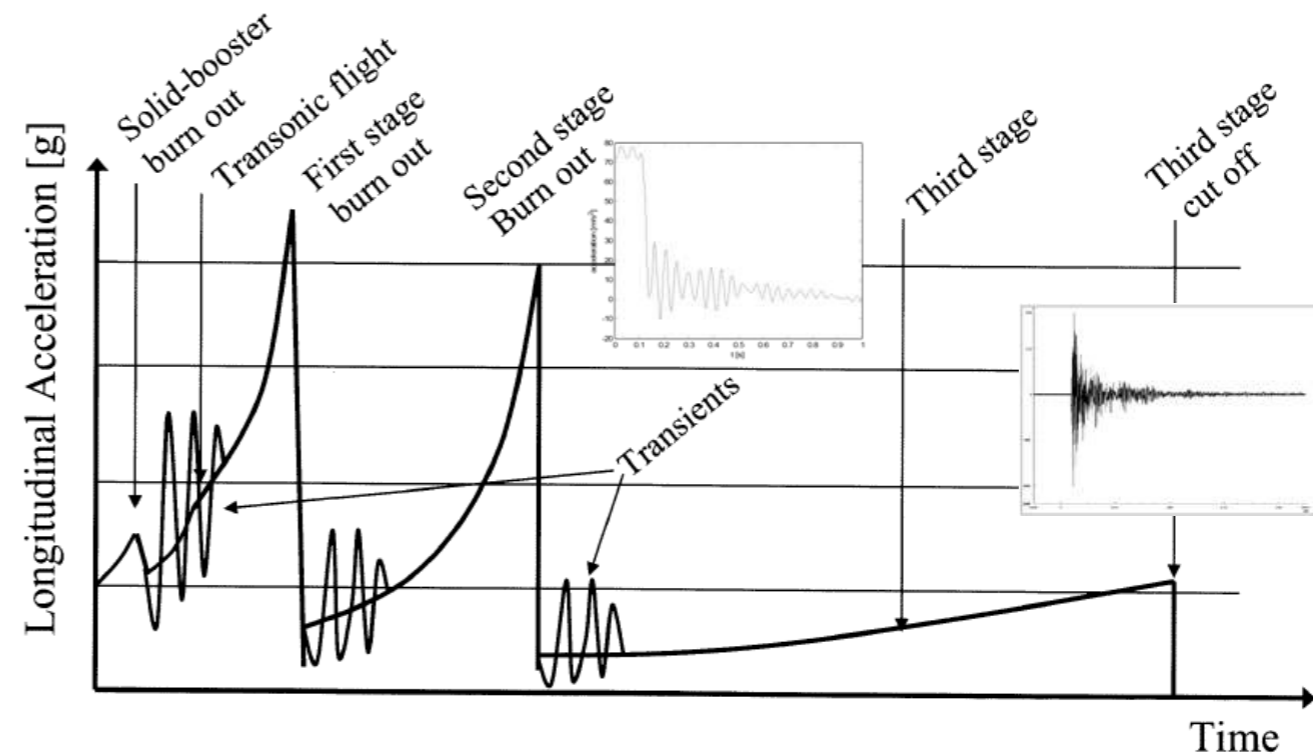
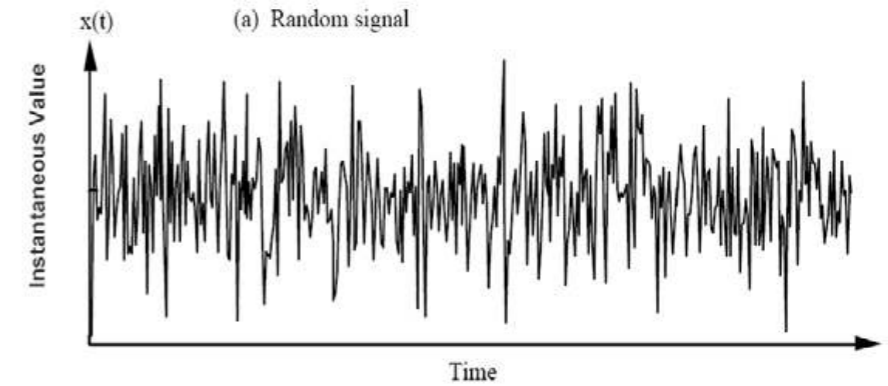
# 1. Introduction

Les environnements mécaniques à considérer :

- **Accélérations** typiques (quasi-statique)
- **Vibrations**
  - Basses-fréquence (transmises via l'interface avec le lanceur)
  - Large bande
    - Aléatoires
    - Acoustique
- **Chocs**

Les outils :

- dynamique des structures
- mesures expérimentales



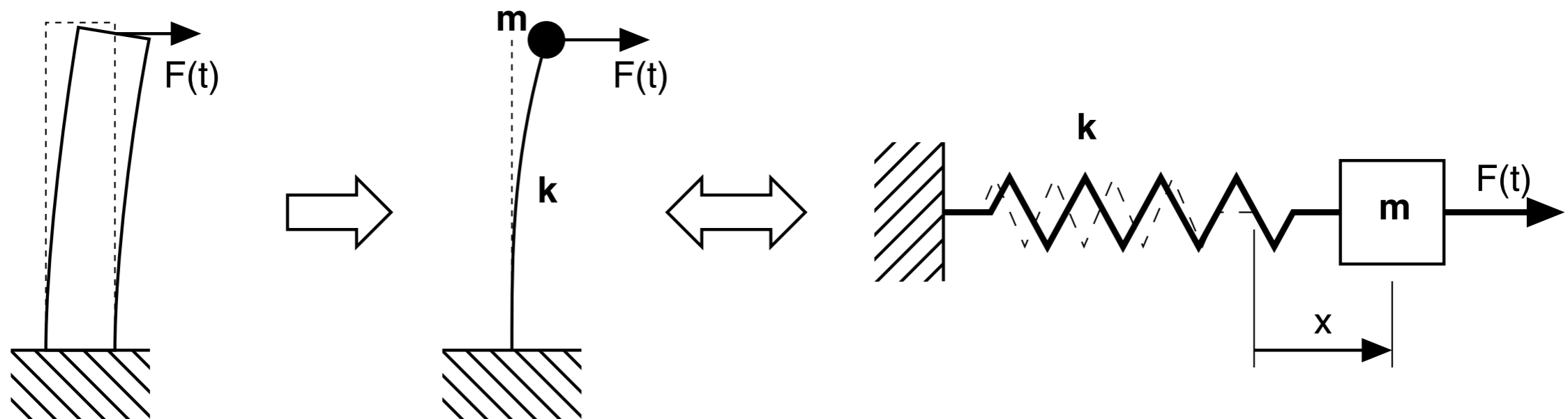
# **2. Éléments de dynamique des structures**



# 2.Éléments de dynamique des structures

## 2.1.Système 1 ddl

**Modélisation :**



$k$  : raideur ( $\text{N.m}^{-1}$ )

$m$  : masse (kg)

Le mouvement est considéré à partir de la position d'équilibre stable :  $x = 0$

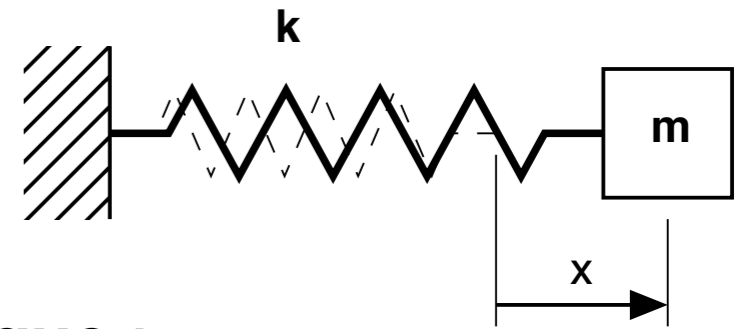
$F(t) = 0 \rightarrow$  mouvement libre

$F(t) \neq 0 \rightarrow$  régime forcé

# 2.Éléments de dynamique des structures

## 2.1.Système 1 ddl - vibrations libre

Le système est libre :  $F(t) = 0$



Application du **Principe Fondamental de la Dynamique** :

On isole la masse  $m$  :

Elle est soumise à la force de rappel :  $\vec{F}_k = -k\vec{x}$

Application du PFD :

$$\vec{F}_k = m\ddot{\vec{x}}$$

Projection sur  $\vec{x}$  :

$$-kx = m\ddot{x}$$

soit :

$$m\ddot{x} + kx = 0$$

# 2.Éléments de dynamique des structures

## 2.1.Système 1 ddl - vibrations libre

**Equation du mouvement :**

$m\ddot{x} + kx = 0$  est une équation différentielle du 2<sup>nd</sup> ordre

On pose  $\omega_0 = \sqrt{\frac{k}{m}}$  la **pulsation propre** de l'oscillateur (rad/s)

Les solutions sont de la forme  $Ae^{rt}$  d'où :

$$mr^2Ae^{rt} + kAe^{rt} = 0 \quad \Rightarrow \quad mr^2 + k = 0$$

$$\text{soit } r^2 + \omega_0^2 = 0 \text{ avec pour solution } r = \pm i\omega_0$$

Les solutions sont ainsi :

$$x(t) = A_1e^{i\omega_0t} + B_1e^{-i\omega_0t} = A \cos(\omega_0t) + B \sin(\omega_0t) = C \cos(\omega_0t + \phi)$$

où les constantes  $A_1$ ,  $B_1$  ou  $A$ ,  $B$  ou  $C$  et  $\phi$  sont déterminées à partir de conditions initiales

# 2.Éléments de dynamique des structures

## 2.1.Système 1 ddl - vibrations libre

### Exemple :

à  $t = 0$  on lâche l'oscillateur d'une position écartée de sa position d'équilibre ( $x \neq 0$ ) :

$$x(0) = x_0 \text{ et } \dot{x}(0) = 0$$

Comme  $x(t)$  est de la forme  $A \cos(\omega_0 t) + B \sin(\omega_0 t)$

On a donc :

$$x(0) = A = x_0 \text{ et } \dot{x}(0) = B = 0$$

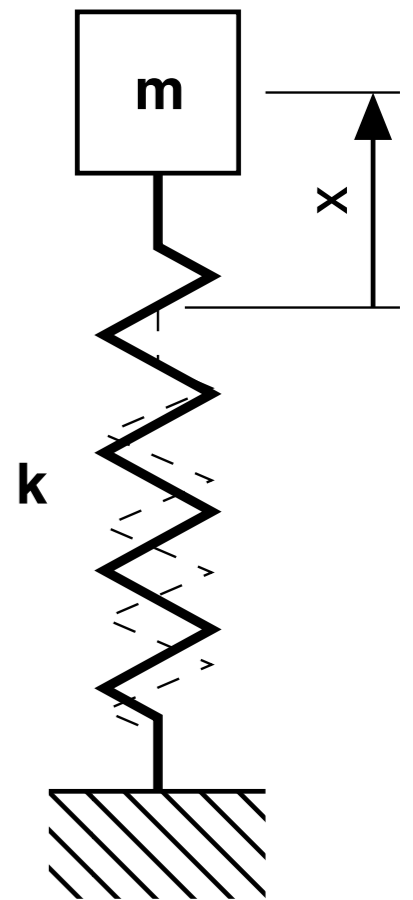
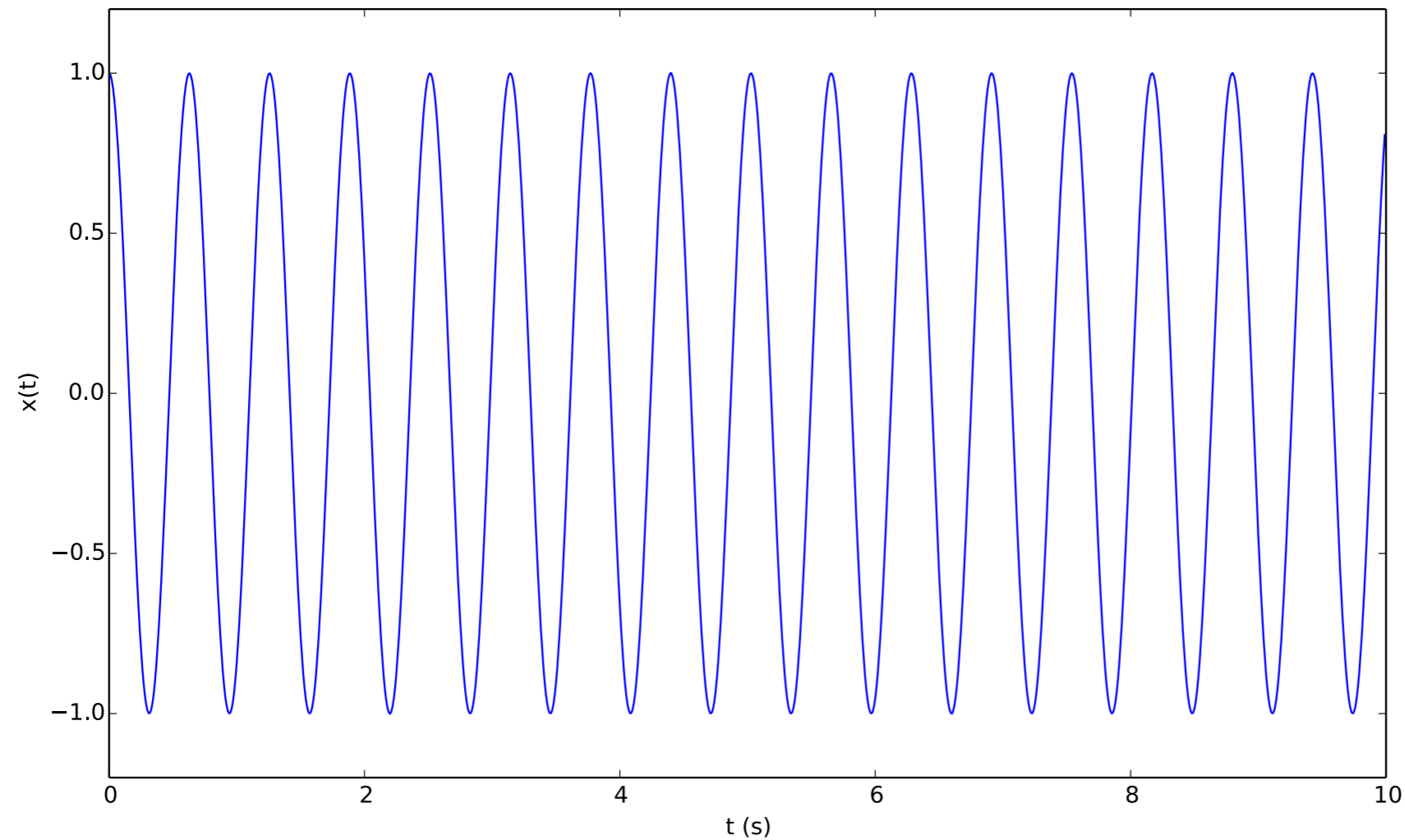
D'où :

$$x(t) = x_0 \cos(\omega_0 t)$$

# 2.Éléments de dynamique des structures

## 2.1.Système 1 ddl - vibrations libre

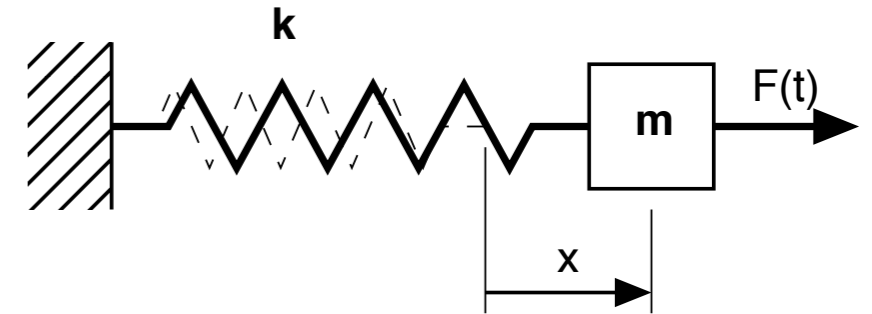
**Exemple :** ( $m = 1 \text{ kg}$ ,  $k = 100 \text{ N/m}$ ,  $w_0 = 10 \text{ rad/s}$ ,  $f_0 = 1,59 \text{ Hz}$ ,  $x_0 = 1\text{m}$ ,  $x'_0 = 0$ )



# 2.Éléments de dynamique des structures

## 2.2.Système 1 ddl - vibrations forcées

Le système est forcé :  $F(t) \neq 0$



On peut utiliser le PFD ou les équations de Lagrange pour obtenir :

$$m \ddot{x} + k x = f(t) \quad \text{ou} \quad \ddot{x} + \frac{k}{m} x = \frac{f(t)}{m}$$

La solution de cette équation différentielle se décompose en deux parties :

- la solution générale,  $x_g$ , solution de  $m \ddot{x}_g + k x_g = 0$
- la solution particulière,  $x_p$ , solution de  $m \ddot{x}_p + k x_p = f(t)$

# 2.Éléments de dynamique des structures

## 2.2.Système 1 ddl - vibrations forcées

Utilisation des résultats généraux et les méthodes classiques de résolution des éq. diff. ou des transformées de Laplace

On déjà  $x_g(t) = A \cos(\omega_0 t) + B \sin(\omega_0 t)$  avec  $\omega_0 = \sqrt{\frac{k}{m}}$

a) Méthode classique (variation de la constante)

On suppose que  $x_p(t) = X_1(t) \cos(\omega_0 t) + X_2(t) \sin(\omega_0 t)$

et  $\dot{X}_1(t) \cos(\omega_0 t) + \dot{X}_2(t) \sin(\omega_0 t) = 0$

alors  $\ddot{x}_p = -\omega_0^2 (X_1(t) \cos(\omega_0 t) + X_2(t) \sin(\omega_0 t))$   
 $+ \omega_0 (-\dot{X}_1(t) \sin(\omega_0 t) + \dot{X}_2(t) \cos(\omega_0 t))$

en reportant dans l'eq. diff. on obtient :

$$\begin{cases} \omega_0 (-\dot{X}_1(t) \sin(\omega_0 t) + \dot{X}_2(t) \cos(\omega_0 t)) = \frac{f(t)}{m} \\ \dot{X}_1(t) \cos(\omega_0 t) + \dot{X}_2(t) \sin(\omega_0 t) = 0 \end{cases}$$

# 2.Éléments de dynamique des structures

## 2.2.Système 1 ddl - vibrations forcées

En combinant les 2 équations on a :

$$\begin{cases} \dot{X}_1(t) = \frac{-f(t)}{m\omega_0} \sin(\omega_0 t) \\ \dot{X}_2(t) = \frac{f(t)}{m\omega_0} \cos(\omega_0 t) \end{cases} \quad \text{soit} \quad \begin{cases} X_1(t) = \frac{-1}{m\omega_0} \int_0^t f(\tau) \sin(\omega_0 \tau) d\tau \\ X_2(t) = \frac{1}{m\omega_0} \int_0^t f(\tau) \cos(\omega_0 \tau) d\tau \end{cases}$$

D'où

$$x_p(t) = \frac{1}{m\omega_0} \int_0^t f(\tau) \underbrace{[\cos(\omega_0 \tau) \sin(\omega_0 t) - \sin(\omega_0 \tau) \cos(\omega_0 t)]}_{\sin \omega_0 (t - \tau)} d\tau$$

$$x(t) = x_g(t) + x_p(t)$$

$$= A \cos \omega_0 t + B \sin \omega_0 t + \frac{1}{m\omega_0} \int_0^t f(t) \sin \omega_0 (t - \tau) d\tau$$



# 2.Éléments de dynamique des structures

## 2.2.Système 1 ddl - vibrations forcées

### b) Transformée de Laplace

Rappels : on pose  $\mathcal{L}[f(t)] = F(p) = \int_0^{\infty} f(t) e^{-pt} dt$  avec  $p \in \mathbb{C}$

### Propriétés :

linéarité de la transformation  $\mathcal{L}[a f(t) + b g(t)] = a \mathcal{L}[f(t)] + b \mathcal{L}[g(t)]$

dérivation  $\mathcal{L}\left[\frac{df(t)}{dt}\right] = \int_0^{\infty} \frac{df(t)}{dt} e^{-pt} dt = \left[ f(t) e^{-pt} \right]_0^{\infty} + p \int_0^{\infty} f(t) e^{-pt} dt$   
 $= -f(0^{plus}) + p \mathcal{L}[df(t)]$

$$\mathcal{L}\left[\frac{d^2 f(t)}{dt^2}\right] = p^2 \mathcal{L}[df(t)] - p f(0) - \frac{df(0)}{dt}$$

retard ( $\tau > 0$ )  $\mathcal{L}[f(t - \tau)] = \int_0^{\infty} f(t - \tau) e^{-pt} dt = \int_{-\tau}^{\infty} f(u) e^{-p(u+\tau)} du$   
 $= e^{-p\tau} \int_{-\tau}^{\infty} f(u) e^{-pu} du = e^{-p\tau} \mathcal{L}[f(t)]$

# 2.Éléments de dynamique des structures

## 2.2.Système 1 ddl - vibrations forcées

*amortissement* ( $a > 0$ )  $\left[ e^{-at} f(t) \right] = \int_0^{\infty} e^{-at} f(t) e^{-pt} dt = F(p+a)$

*changement d'échelle* ( $a > 0$ )  $\left[ f\left(\frac{t}{a}\right) \right] = \int_0^{\infty} f\left(\frac{t}{a}\right) e^{-pt} dt = F(ap)$

*convolution*  $\left[ f(t) \circ g(t) \right] = \int_0^{\infty} \left[ \int_0^t f(\tau) g(t-\tau) d\tau \right] e^{-pt} dt$   
 $= \int_0^{\infty} \int_0^t f(\tau) e^{-pt} g(t-\tau) e^{-p(t-\tau)} d\tau dt$   
 $= [f(t)] [g(t)] = F(p)G(p)$

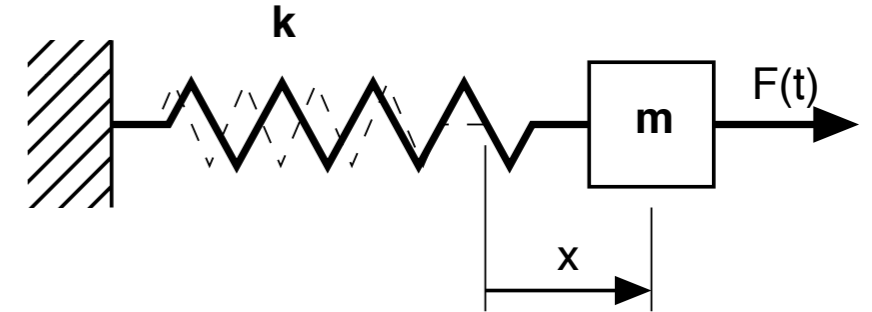
*sin*( $\omega t$ )  $(\sin \omega t) = \frac{\omega}{p^2 + \omega^2}$

*cos*( $\omega t$ )  $(\cos \omega t) = \frac{p}{p^2 + \omega^2}$

# 2.Éléments de dynamique des structures

## 2.2.Système 1 ddl - vibrations forcées

Application au problème des oscillations forcées



$$(x) = X(p)$$

$$(\ddot{x}) = p^2 X(p) - p x(0) - \dot{x}(0)$$

$$(f(t)) = F(p)$$

l' équation du mouvement s' écrit :  $p^2 X(p) + \omega_0^2 X(p) = \frac{F(p)}{m} + p x(0) + \dot{x}(0)$

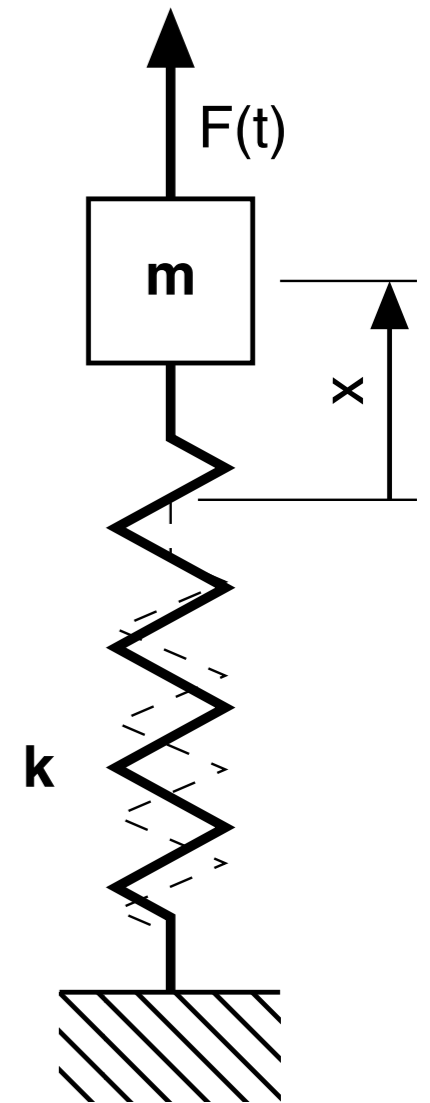
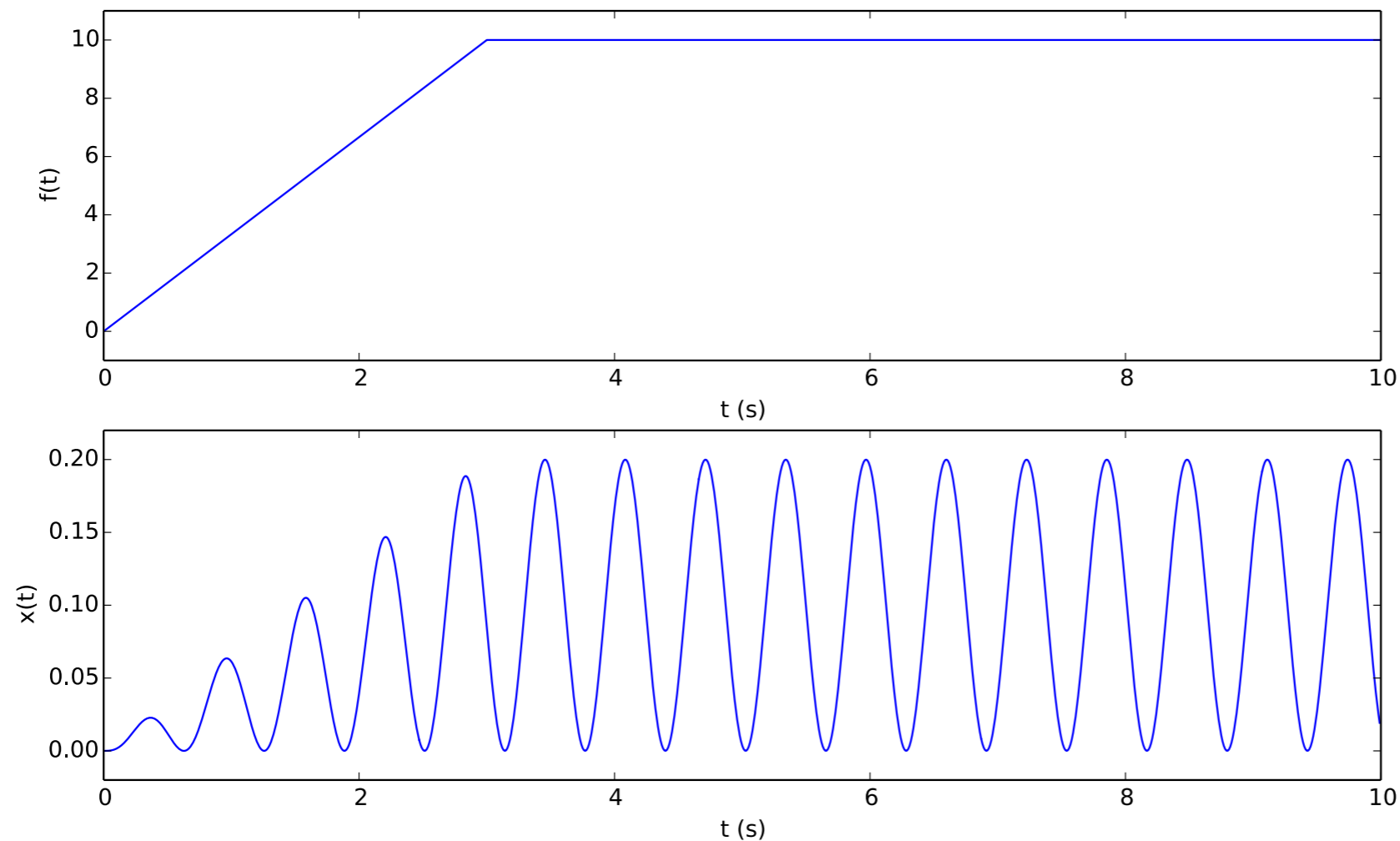
$$\Rightarrow X(p) = \frac{\frac{F(p)}{m} + p x(0) + \dot{x}(0)}{p^2 + \omega_0^2}$$

$$x(t) = \int_0^t \frac{f(\tau)}{m \omega_0} \sin(\omega_0(t-\tau)) d\tau + \underbrace{x(0)}_A \cos(\omega_0 t) + \underbrace{\frac{\dot{x}(0)}{\omega_0}}_B \sin(\omega_0 t)$$

# 2.Éléments de dynamique des structures

## 2.2.Système 1 ddl - vibrations forcées

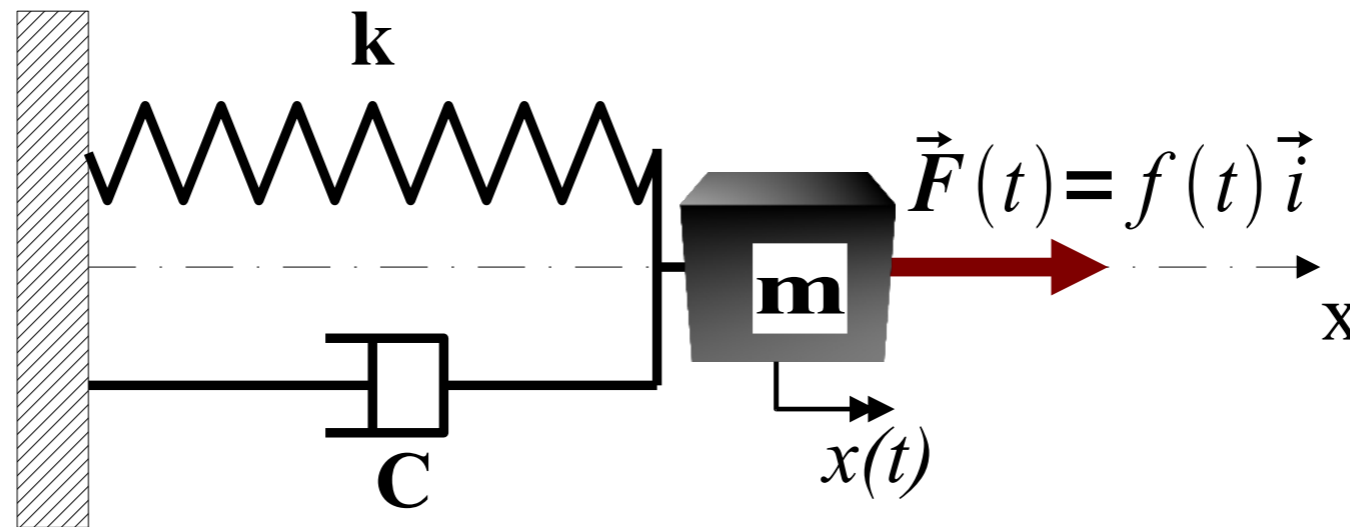
Exemple ( $m = 1 \text{ kg}$ ,  $k = 100 \text{ N/m}$ ,  $\omega_0 = 10 \text{ rad/s}$ ,  $f_0 = 1,59 \text{ Hz}$ )



$$x(t) = \int_0^t \frac{f(\tau)}{m\omega_0} \sin(\omega_0(t-\tau)) d\tau + x(0) \cos(\omega_0 t) + \frac{\dot{x}(0)}{\omega_0} \sin(\omega_0 t)$$

# 2.Éléments de dynamique des structures

## 2.3.Système 1 ddl amorti



$k$  : raideur ( $\text{Nm}^{-1}$ ),

$m$  : masse (kg),

$C$  : amortissement ( $\text{Nm}^{-1}\text{s}$ ),

on considère le mouvement à partir de la position d'équilibre stable ( $x=0 \Leftrightarrow$  pas d'efforts exercés).

$f(t) = 0 \Rightarrow$  mouvement libre

$f(t) \neq 0 \Rightarrow$  mouvement forcé

# 2.Éléments de dynamique des structures

## 2.3.Système 1 ddl amorti

PFD :  $m \ddot{x} = -k x - C \dot{x}$

Lagrange :  $E_c = \frac{1}{2} m \dot{x}^2, E_p = \frac{1}{2} k x^2, D = \frac{1}{2} C \dot{x}^2$

$$\Rightarrow m \ddot{x} + C \dot{x} + k x = 0$$

$$\ddot{x} + \frac{C}{m} \dot{x} + \frac{k}{m} x = 0$$

On pose  $\omega_0 = \sqrt{\frac{k}{m}}$  la pulsation propre (rds<sup>-1</sup>)

et  $C = 2\varepsilon m \omega_0$  avec  $\varepsilon$  le coefficient d'amortissement (sans dimension)

d'où l'équation

$$\ddot{x} + 2 \varepsilon \omega_0 \dot{x} + \omega_0^2 x = 0$$

# 2.Éléments de dynamique des structures

## 2.3.Système 1 ddl amorti

On pose la solution de la forme  $e^{rt}$  on résout alors :  $r^2 + 2 \epsilon \omega_0 r + \omega_0^2 = 0$   
 $r = -\epsilon \omega_0 \pm \sqrt{\omega_0^2 (\epsilon^2 - 1)}$

$$\Rightarrow x(t) = A_1 e^{r_1 t} + A_2 e^{r_2 t} \text{ avec } \begin{cases} r_1 = \omega_0 \left[ -\epsilon + \sqrt{\epsilon^2 - 1} \right] \\ r_2 = -\omega_0 \left[ \epsilon + \sqrt{\epsilon^2 - 1} \right] \end{cases}$$

a) cas où  $\epsilon > 1$  (amortissement supercritique ou surcritique)

$$x(t) = e^{-\epsilon \omega_0 t} \left[ A_1 e^{\sqrt{\epsilon^2 - 1} \omega_0 t} + A_2 e^{-\sqrt{\epsilon^2 - 1} \omega_0 t} \right]$$

**ou  $x(t) = e^{-\epsilon \omega_0 t} \left[ A \operatorname{ch}(\sqrt{\epsilon^2 - 1} \omega_0 t) + B \operatorname{sh}(-\sqrt{\epsilon^2 - 1} \omega_0 t) \right]$**

b) cas où  $\epsilon = 1$  (amortissement critique)

$$x(t) = e^{-\epsilon \omega_0 t} [At + B]$$

# 2.Éléments de dynamique des structures

## 2.3.Système 1 ddl amorti

c) cas où  $\epsilon < 1$  (amortissement subcritique ou souscritique)

$$r_1 = \omega_0 \left[ -\epsilon + i \sqrt{1 - \epsilon^2} \right], r_2 = -\omega_0 \left[ \epsilon + i \sqrt{1 - \epsilon^2} \right]$$

$$\Rightarrow x(t) = e^{-\epsilon \omega_0 t} \left[ A_1 e^{i \sqrt{1 - \epsilon^2} \omega_0 t} + A_2 e^{-i \sqrt{1 - \epsilon^2} \omega_0 t} \right]$$

ou bien  $x(t) = e^{-\epsilon \omega_0 t} \left[ A \cos(\sqrt{1 - \epsilon^2} \omega_0 t) + B \sin(\sqrt{1 - \epsilon^2} \omega_0 t) \right]$

on pose  $\Omega = \sqrt{1 - \epsilon^2} \omega_0$  (pseudo pulsation ou pulsation naturelle)

et  $\lambda = \epsilon \omega_0$

$$\Rightarrow x(t) = e^{-\lambda t} \left[ A \cos(\Omega t) + B \sin(\Omega t) \right]$$

$$= e^{-\lambda t} C \cos(\Omega t - \varphi)$$

→ C'est un mouvement sinusoïdal amorti



# 2.Éléments de dynamique des structures

## 2.3.Système 1 ddl amorti

### Exemple

On étudie la réponse à un lâcher :  $x(0)=x_0$  et  $\dot{x}(0)=0$

On a alors pour les différents cas :

$$\text{pour } \varepsilon > 1 \quad x(t) = x_0 e^{-\varepsilon \omega_0 t} \left[ ch(\sqrt{\varepsilon^2 - 1} \omega_0 t) + \frac{\varepsilon}{\sqrt{\varepsilon^2 - 1}} sh(\sqrt{\varepsilon^2 - 1} \omega_0 t) \right]$$

$$\text{pour } \varepsilon = 1 \quad x(t) = x_0 e^{-\varepsilon \omega_0 t} [1 + \omega_0 t]$$

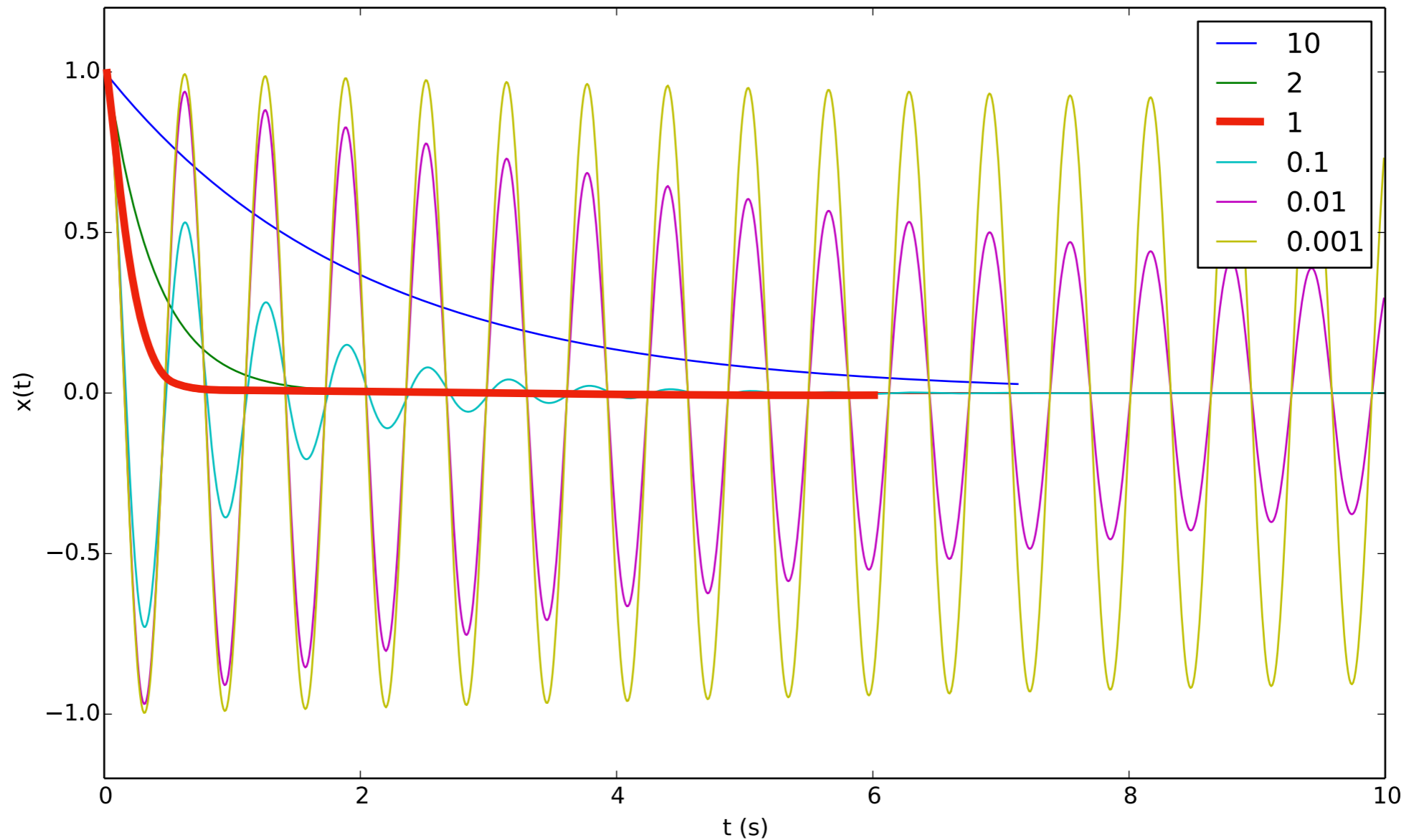
$$\begin{aligned} \text{pour } \varepsilon < 1 \quad x(t) &= x_0 e^{-\varepsilon \omega_0 t} \left[ \cos(\sqrt{\varepsilon^2 - 1} \omega_0 t) + \frac{\varepsilon}{\sqrt{\varepsilon^2 - 1}} \sin(\sqrt{\varepsilon^2 - 1} \omega_0 t) \right] \\ &= \frac{x_0 e^{-\lambda t}}{\sqrt{1 - \varepsilon^2}} \cos(\Omega t - \varphi) \text{ avec } \cos \varphi = \sqrt{1 - \varepsilon^2} \text{ et } \sin \varphi = \varepsilon \end{aligned}$$

# 2.Éléments de dynamique des structures

## 2.3.Système 1 ddl amorti

**Exemple** ( $m = 1$  kg,  $k = 100$  N/m,  $w_0 = 10$  rad/s,  $f_0 = 1,59$  Hz)

$x_0 = 1$  m,  $\varepsilon$  variable



# 2.Éléments de dynamique des structures

## 2.3.Système 1 ddl amorti

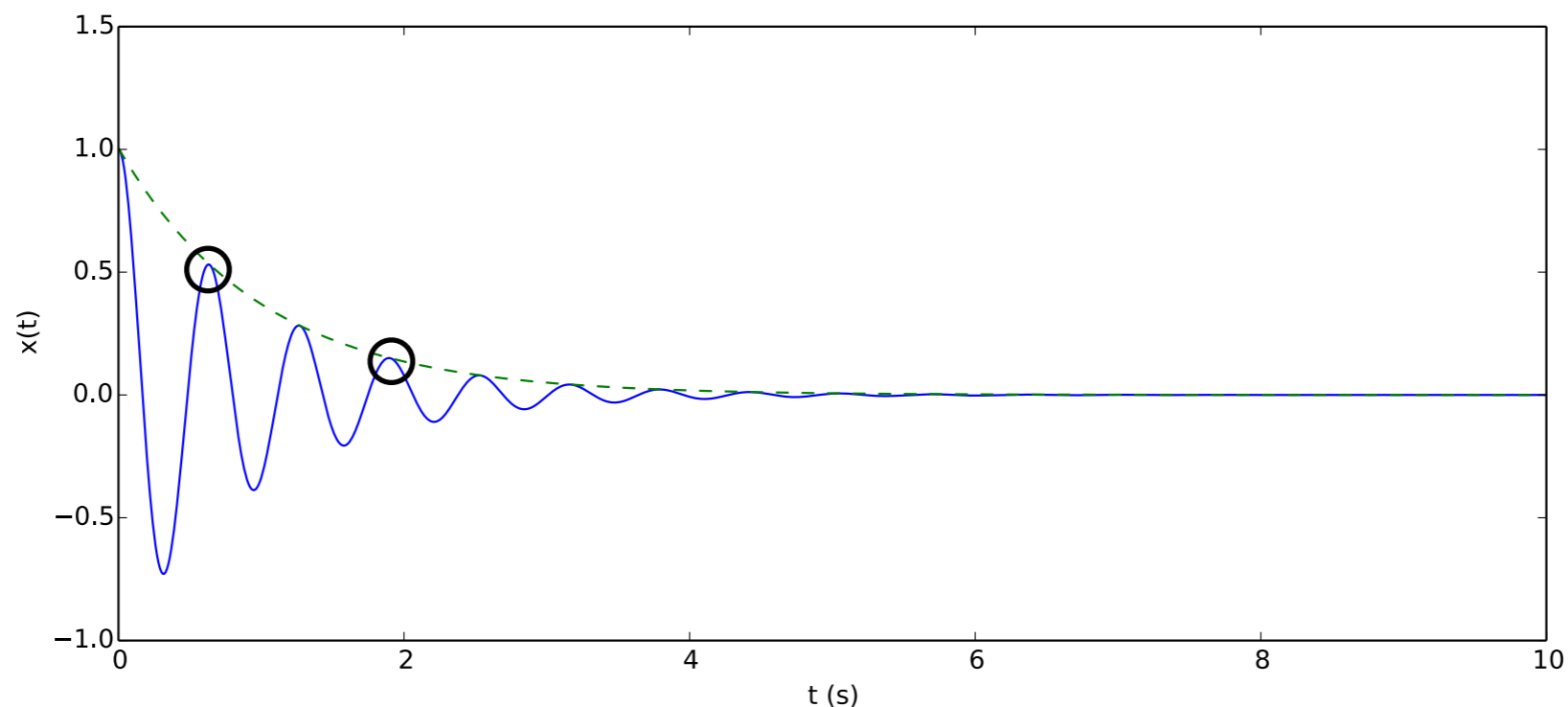
### Identification du coefficient d'amortissement

Lâcher d'un système avec  $\varepsilon < 1 \iff$  cas d'oscillations amorties

- soit  $x_n$  la  $n^{\text{ième}}$  valeur maximale de  $x(t)$  et  $x_{n+p}$  la  $n+p^{\text{ième}}$ .

- ces valeurs maximales correspondent approximativement aux points de

tangence avec la courbe  $\frac{1}{\sqrt{1-\varepsilon^2}} e^{-\varepsilon\omega_0 t}$



# 2.Éléments de dynamique des structures

## 2.3.Système 1 ddl amorti

### Identification du coefficient d'amortissement

Lâcher d'un système avec  $\epsilon < 1 \iff$  cas d'oscillations amorties

on a alors

$$x_n = \frac{1}{\sqrt{1-\epsilon^2}} e^{-\lambda t_n}$$
$$x_{n+p} = \frac{1}{\sqrt{1-\epsilon^2}} e^{-\lambda(t_n+pT)}$$

d'où  $\frac{x_n}{x_{n+p}} \approx e^{\epsilon \omega_0 p T}$

$$\Rightarrow \epsilon \omega_0 p T \approx \ln \left( \frac{x_n}{x_{n+p}} \right)$$

comme  $T = \frac{2\pi}{\Omega} = \frac{2\pi}{\omega_0 \sqrt{1-\epsilon^2}}$

alors  $\frac{\epsilon}{\sqrt{1-\epsilon^2}} \approx \frac{1}{2\pi p} \ln \left( \frac{x_n}{x_{n+p}} \right)$

si  $\epsilon \ll 1$  on a une équation linéaire et

$$\epsilon \approx \frac{1}{2\pi p} \ln \left( \frac{x_n}{x_{n+p}} \right)$$

# 2.Éléments de dynamique des structures

## 2.3.Système 1 ddl amorti

**Solution générale en régime forcé :**

$$\text{on résoud } m\ddot{x} + C\dot{x} + kx = f(t) \text{ ou } \ddot{x} + 2\epsilon\omega_0\dot{x} + \omega_0^2 x = \frac{f(t)}{m}$$

On procède de la même manière que pour le système sans amortissement :

$$x(t) = x_g(t) + x_p(t) \text{ avec}$$

$$x_g(t) = e^{-\lambda t} [A \cos(\Omega t) + B \sin(\Omega t)]$$

$$x_p(t) = e^{-\lambda t} [X_1(t) \cos(\Omega t) + X_2(t) \sin(\Omega t)]$$

$$\text{et } \dot{X}_1(t) \cos(\Omega t) + \dot{X}_2(t) \sin(\Omega t) = 0$$

En résolvant le système, on obtient :

$$\dot{X}_1(t) = \frac{-1}{m\Omega} e^{\lambda t} f(t) \sin(\Omega t) \quad \text{ou} \quad X_1(t) = \frac{-1}{m\Omega} \int_0^t e^{\lambda\tau} f(\tau) \sin(\Omega\tau) d\tau$$

$$\dot{X}_2(t) = \frac{1}{m\Omega} e^{\lambda t} f(t) \cos(\Omega t) \quad X_2(t) = \frac{1}{m\Omega} \int_0^t e^{\lambda\tau} f(\tau) \cos(\Omega\tau) d\tau$$

# 2.Éléments de dynamique des structures

## 2.3.Système 1 ddl amorti

### Solution générale en régime forcé : cas d'une excitation harmonique

$f(t)=F \cos \omega t$ , l'équation du mouvement s'écrit :  $\ddot{x} + 2 \epsilon \omega_0 \dot{x} + \omega_0^2 x = \frac{F}{m} \cos(\omega t)$

Écriture du régime forcé (pas de transitoire)

on peut calculer  $x_p(t) = \frac{F}{m \Omega_0} \int_0^t e^{-\lambda(t-\tau)} \cos(\omega \tau) \sin(\Omega(t-\tau)) d\tau$

ou bien utiliser les complexes  $\Rightarrow$  on associe à l'équation en  $x$  une équation en  $y$  tq :

$$\ddot{y} + 2 \epsilon \omega_0 \dot{y} + \omega_0^2 y = \frac{F}{m} \sin(\omega t) \text{ en posant } z = x + iy \text{ avec } \begin{cases} x = \Re(z) \\ y = \Im(z) \end{cases}$$

$z$  est solution de l'équation  $\ddot{z} + 2 \epsilon \omega_0 \dot{z} + \omega_0^2 z = \frac{F}{m} e^{i\omega t}$

le régime forcé  $\Leftrightarrow$  solution particulière s'écrit  $z(t) = Z e^{i\omega t}$

$$\text{d'où } Z e^{i\omega t} (-\omega^2 + 2 i \epsilon \omega_0 \omega + \omega_0^2) = \frac{F}{m} e^{i\omega t} \Rightarrow Z = \frac{F}{m(\omega_0^2 - \omega^2 + 2 i \epsilon \omega_0 \omega)}$$

que l'on met plutôt sous la forme

$$z(t) = |Z| e^{i(\omega t - \phi)} = \frac{F}{m \sqrt{(\omega_0^2 - \omega^2)^2 + (2 \epsilon \omega_0 \omega)^2}} e^{i(\omega t - \phi)}$$

# 2.Éléments de dynamique des structures

## 2.3.Système 1 ddl amorti

### Solution générale en régime forcé : cas d'une excitation harmonique

on obtient alors  $x(t) = \Re(z(t)) = |Z| \cos(\omega t - \phi) = X \cos(\omega t - \phi)$

$$X(\omega) = \frac{F}{m \sqrt{(\omega_0^2 - \omega^2)^2 + (2\epsilon \omega_0 \omega)^2}}$$

avec

$$\operatorname{tg}(\phi(\omega)) = \frac{2\epsilon \omega_0 \omega}{\omega_0^2 - \omega^2} = \frac{2\epsilon \frac{\omega}{\omega_0}}{1 - \left(\frac{\omega}{\omega_0}\right)^2}$$

On définit  $H(\omega)$  la fonction de transfert de  $f(t)$  vers  $x(t)$  telle que  $x(t) = H(\omega)f(t)$  que l'on peut décomposer par  $z(t) = A(\omega)e^{-i\Phi(\omega)} f(t)$  avec  $A(\omega)$  l'amplitude de la fonction de transfert,  $\Phi(\omega)$  la phase de la fonction de transfert.

# 2.Éléments de dynamique des structures

## 2.3.Système 1 ddl amorti

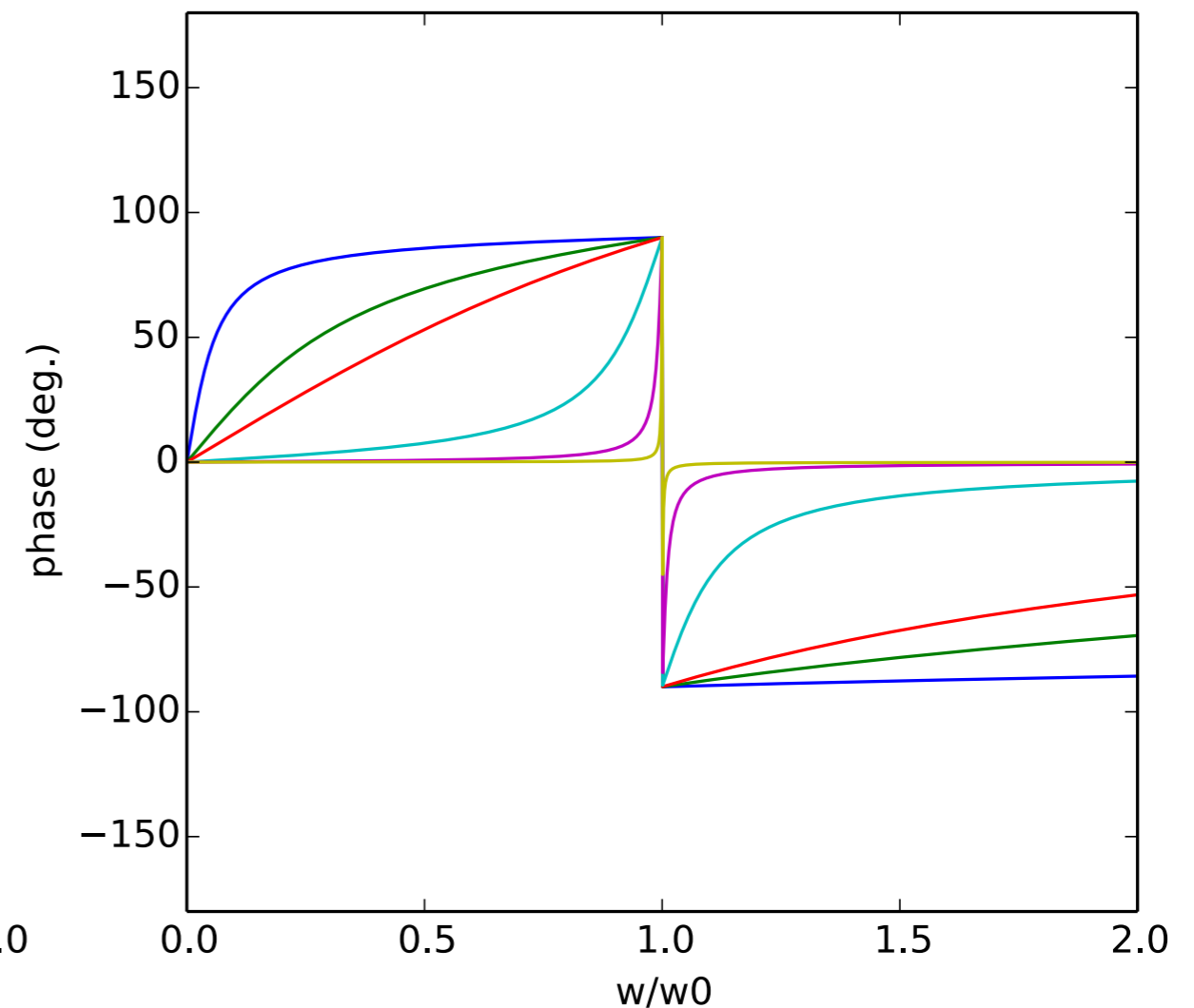
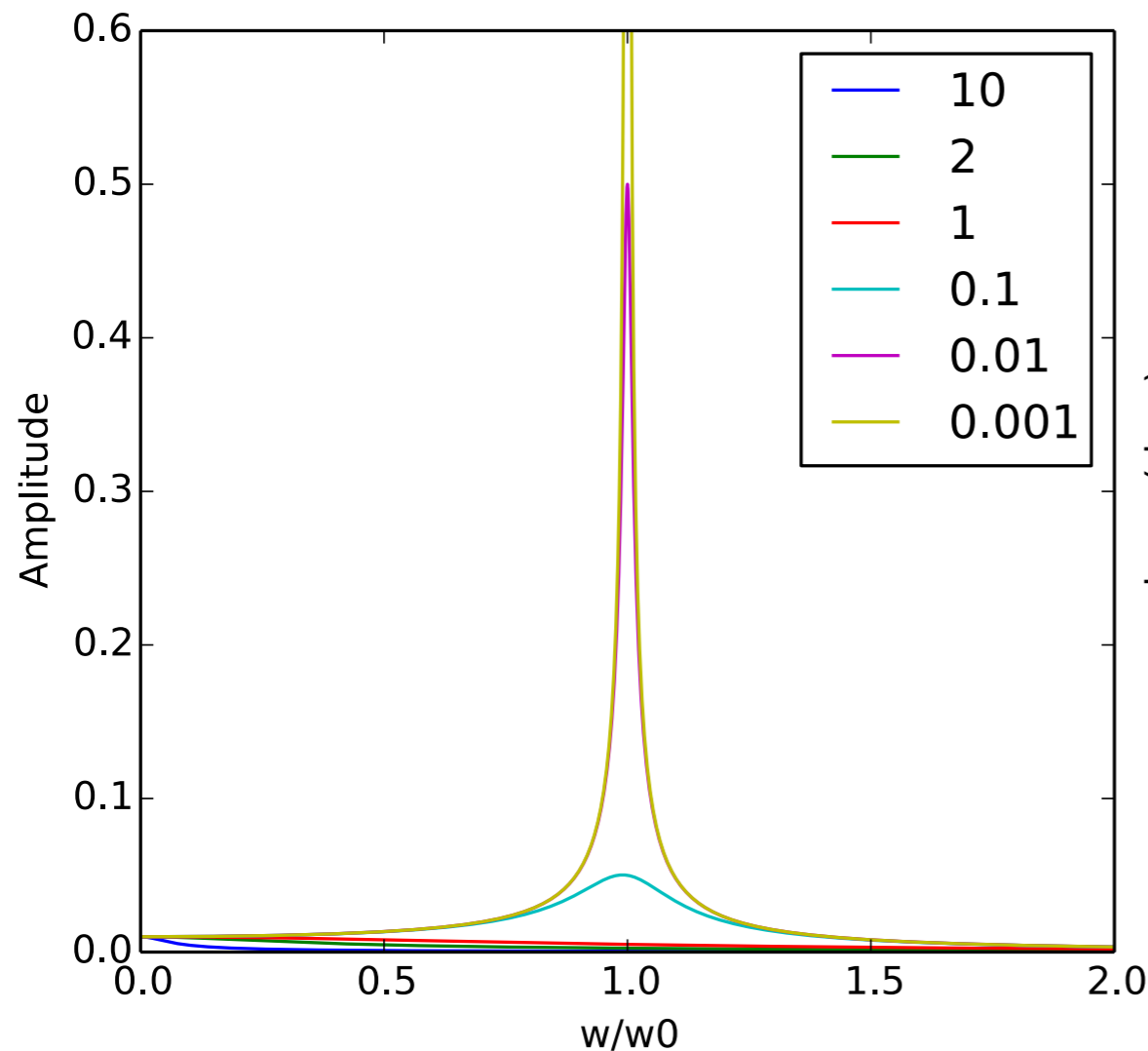
Régime forcé : cas d'une excitation harmonique

Fonction de transfert - Représentation de Bode

$$s \quad x(t) = \Re(z(t)) = |Z| \cos(\omega t - \phi) = X \cos(\omega t - \phi)$$
$$X(\omega) = \frac{F}{m \sqrt{(\omega_0^2 - \omega^2)^2 + (2\epsilon \omega_0 \omega)^2}}$$

avec

$$\text{tg}(\phi(\omega)) = \frac{2\epsilon \omega_0 \omega}{\omega_0^2 - \omega^2} = \frac{2\epsilon \frac{\omega}{\omega_0}}{1 - \left(\frac{\omega}{\omega_0}\right)^2}$$





# 2.Éléments de dynamique des structures

## 2.3.Système 1 ddl amorti

### Points caractéristiques

➤ origine  $A(0) = \frac{1}{m\omega_0^2} = \frac{1}{k}$  (amplitude statique)

➤ pic (résonance d'amplitude)  $m \frac{\partial A(\omega)}{\partial \omega} = \frac{\partial}{\partial \omega} \left[ (\omega_0^2 - \omega^2)^2 + 4\epsilon^2 \omega_0^2 \omega^2 \right]^{-1/2} = 0$

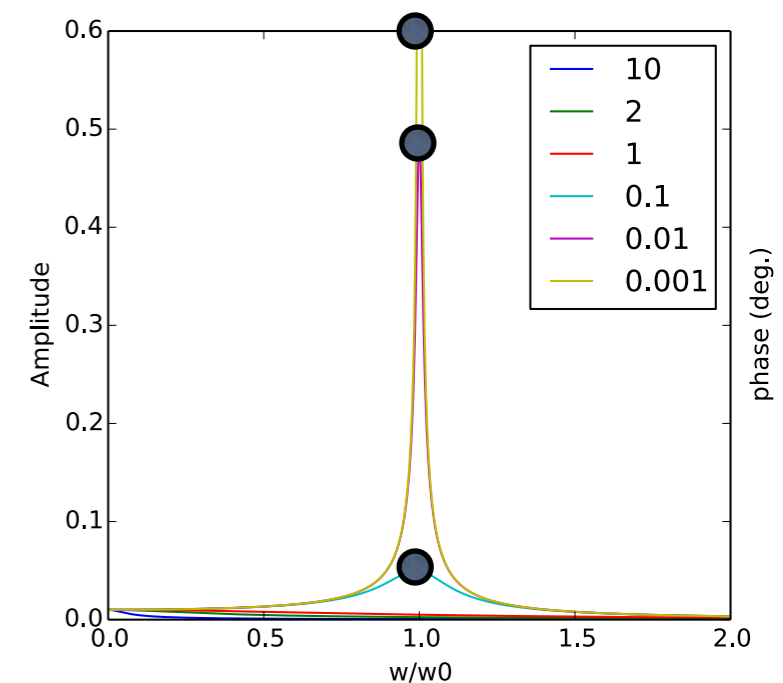
$$= \frac{-1}{2} \frac{-4(\omega_0^2 - \omega^2)\omega + 8\epsilon^2 \omega_0^2 \omega}{\left[ (\omega_0^2 - \omega^2)^2 + 4\epsilon^2 \omega_0^2 \omega^2 \right]^{3/2}} = 0$$

le numérateur donne :

$$\begin{cases} \omega_r = 0 & \text{si } \epsilon > \frac{1}{\sqrt{2}} \\ \omega_r^2 = \omega_0^2(1 - 2\epsilon^2) & \text{si } \epsilon < \frac{1}{\sqrt{2}} \approx \omega_0^2 & \text{si } \epsilon \ll 1 \end{cases}$$

alors  $A(\omega_0^2(1 - 2\epsilon^2)) = \frac{1}{2 m \omega_0^2 \epsilon \sqrt{1 - \epsilon^2}} \approx \frac{1}{2 m \omega_0^2 \epsilon}$

et  $\text{tg } \phi_r = \frac{\sqrt{1 - 2\epsilon^2}}{\epsilon}$



# 2.Éléments de dynamique des structures

## 2.3.Système 1 ddl amorti

### Points caractéristiques

➤ résonance de phase

$$\omega = \omega_0 \Rightarrow \operatorname{tg} \phi(\omega_0) = \infty \Rightarrow \phi = \frac{\pi}{2}$$

➤ énergie dissipée par cycle  $W = \int_0^T f(t) \dot{x} dt = - \int_0^{2\frac{\pi}{\omega}} F \cos(\omega t) \left[ -\omega X \sin(\omega t - \phi) \right] dt$

$$= \frac{-\pi X^2}{A} \omega \sin \phi \text{ avec } X = AF$$

➤ pour  $\varepsilon \ll 1$  :

on définit la largeur de bande par l'intervalle  $\omega_2 - \omega_1$  situé au voisinage de  $\omega_r$  tel que

$$A(\omega_1) = A(\omega_2) = \frac{A_{max}}{\sqrt{2}} \quad (\text{l'énergie dissipée en } \omega_2 \text{ et } \omega_1 \text{ est la moitié de celle}$$

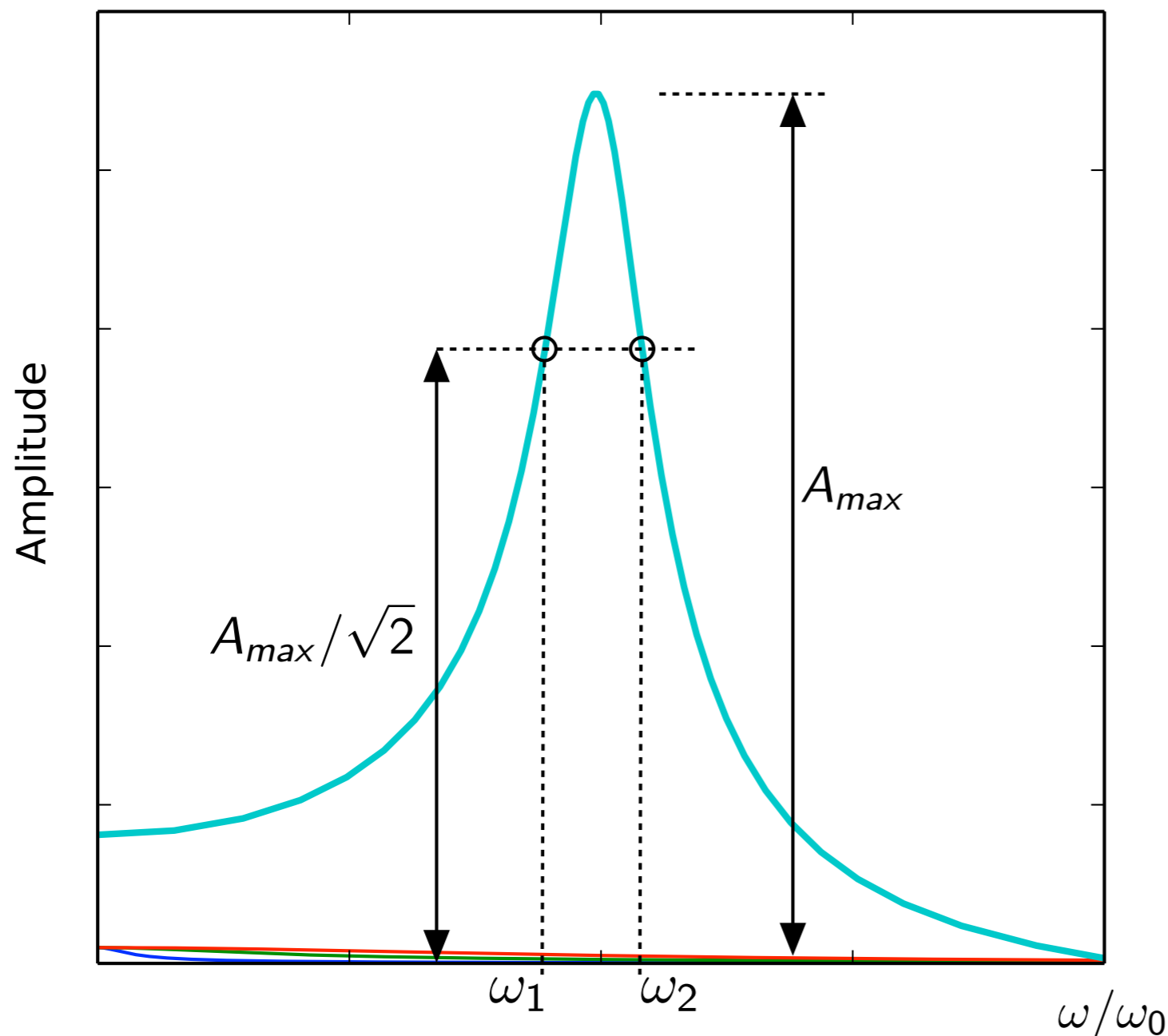
dissipée en  $\omega_r$ ). On montre que  $\omega_2 - \omega_1 = \Delta\omega = 2\omega_0\varepsilon$ .  $\longrightarrow$

**identification de l'amortissement**

# 2.Éléments de dynamique des structures

## 2.3.Système 1 ddl amorti

Régime forcé : identification de l'amortissement depuis le diagramme de Bode



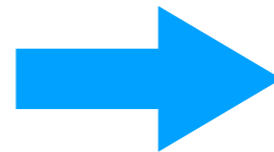
$$\omega_2 - \omega_1 = 2\omega_0\epsilon$$

# 2.Éléments de dynamique des structures

## 2.4.Système n-ddl

Même démarche, mais sous forme matricielle :

$$m \ddot{x} + k x = 0$$



$$[M] \{\ddot{x}\} + [K] \{x\} = \{0\}$$

où chaque degré de liberté

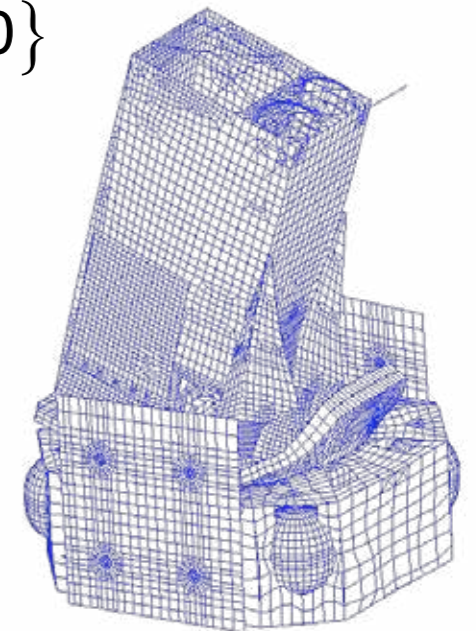
$$x_i(t) = X_i e^{r_i t}$$

doit respecter

$$\left( r^2 [M] + [K] \right) \{X\} = \{0\}$$

qui est un problème aux valeurs propres

- valeurs = pulsation propres
- vecteurs propre = formes modales



# 2.Éléments de dynamique des structures

## 2.4.Système n-ddl amorti forcé

Sous une excitation de pulsation  $w$ , pour un système amorti l'équation prend la forme suivante :

$$[M]\ddot{X} + [C]\dot{X} + [K]X = F$$

soit

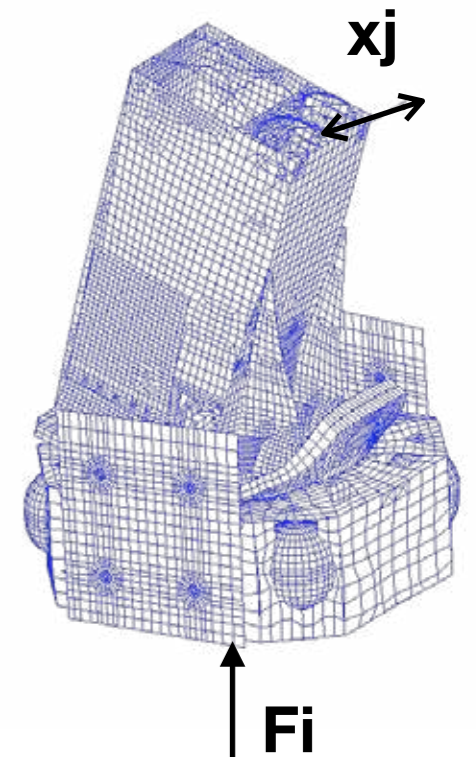
$$\left( -[M]w^2 + [C]jw + [K] \right) X = F$$

$K_d$  : raideur dynamique

Les relations entre les sorties  $x_j$  et les excitations  $F_i$  en entrée sont définies dans l'inverse de cette raideur, notée  $H$

$$K_d X = F \quad \Rightarrow \quad X = K_d^{-1} F = H F$$

Il s'agit de la fonction de transfert (TF), ou **réponse fréquentielle (FRF)**, de la structure, généralisée à tous les degrés de liberté.



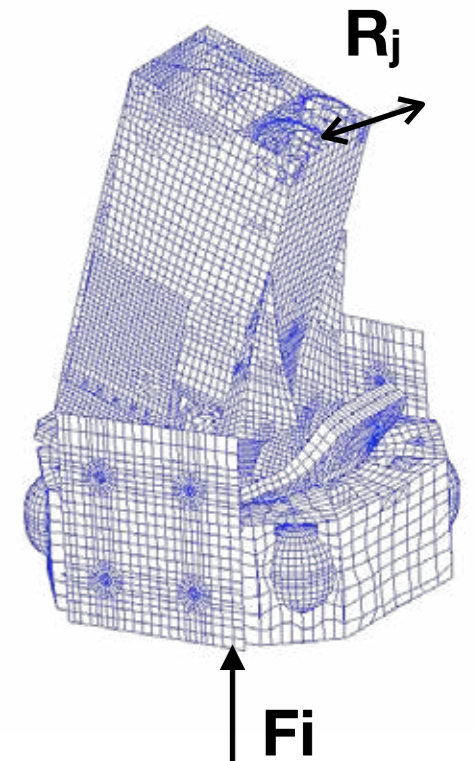
# 2.Éléments de dynamique des structures

## 2.4.Système n-ddl amorti forcé

Les **fonctions de réponses fréquentielles** peuvent relier différentes grandeurs physiques.

Ce sont des fonctions complexes de la pulsation d'excitation  $\omega$ .

Response Parameter $R$	Standard FRF: $R/F$	Inverse FRF: $F/R$
DISPLACEMENT	RECEPTANCE ADMITTANCE DYNAMIC COMPLIANCE DYNAMIC FLEXIBILITY	DYNAMIC STIFFNESS
VELOCITY	MOBILITY	MECHANICAL IMPEDANCE
ACCELERATION	ACCELERANCE INERTANCE	APPARENT MASS



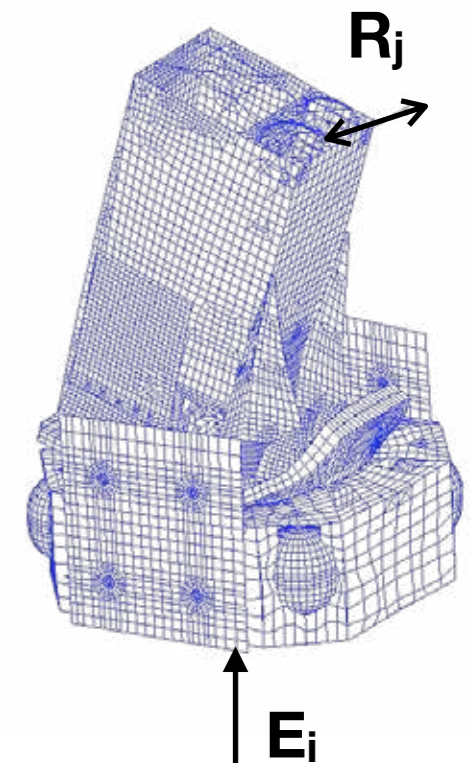
# 2.Éléments de dynamique des structures

## 2.4.Système n-ddl amorti forcé

Les **fonctions de réponses fréquentielles** peuvent relier différentes grandeurs physiques.

Ce sont des fonctions complexes de la pulsation d'excitation  $\omega$ .

Excitations Responses	$F_i$	$u_j$	$\dot{u}_j = i\omega u_j$	$\ddot{u}_j = -\omega^2 u_j$
$F_j$	Transmissibilities (-) $T_{ji}$ *	Stiffnesses (2) $K_{jj}$	Impedances $Z_{jj} = K_{jj} / i\omega$	Masses (5) $M_{jj} = K_{jj} / (-\omega^2)$
$u_i$	Flexibilities (1) $G_{ii}$	Transmissibilities $T_{ij}$	$T_{ij} / i\omega$	$T_{ij} / (-\omega^2)$
$\dot{u}_j$ $= i\omega u_j$	Admittances (3) $Y_{ii} = i\omega G_{ii}$	$i\omega T_{ij}$	Transmissibilities $T_{ij}$	$T_{ij} / i\omega$
$\ddot{u}_j$ $= -\omega^2 u_j$	Accelerances (4) $A_{ii} = -\omega^2 G_{ii}$	$-\omega^2 T_{ij}$	$i\omega T_{ij}$	Transmissibilities $T_{ij}$
<p>* Sign (-), the considered responses being the reaction forces, opposed to the transmitted forces</p> <p>Other names:</p> <ul style="list-style-type: none"> <li>(1) compliances, receptances</li> <li>(2) rigidities</li> <li>(3) mobilities</li> <li>(4) inertances (ambiguous term, to be avoided)</li> <li>(5) apparent masses</li> </ul>				

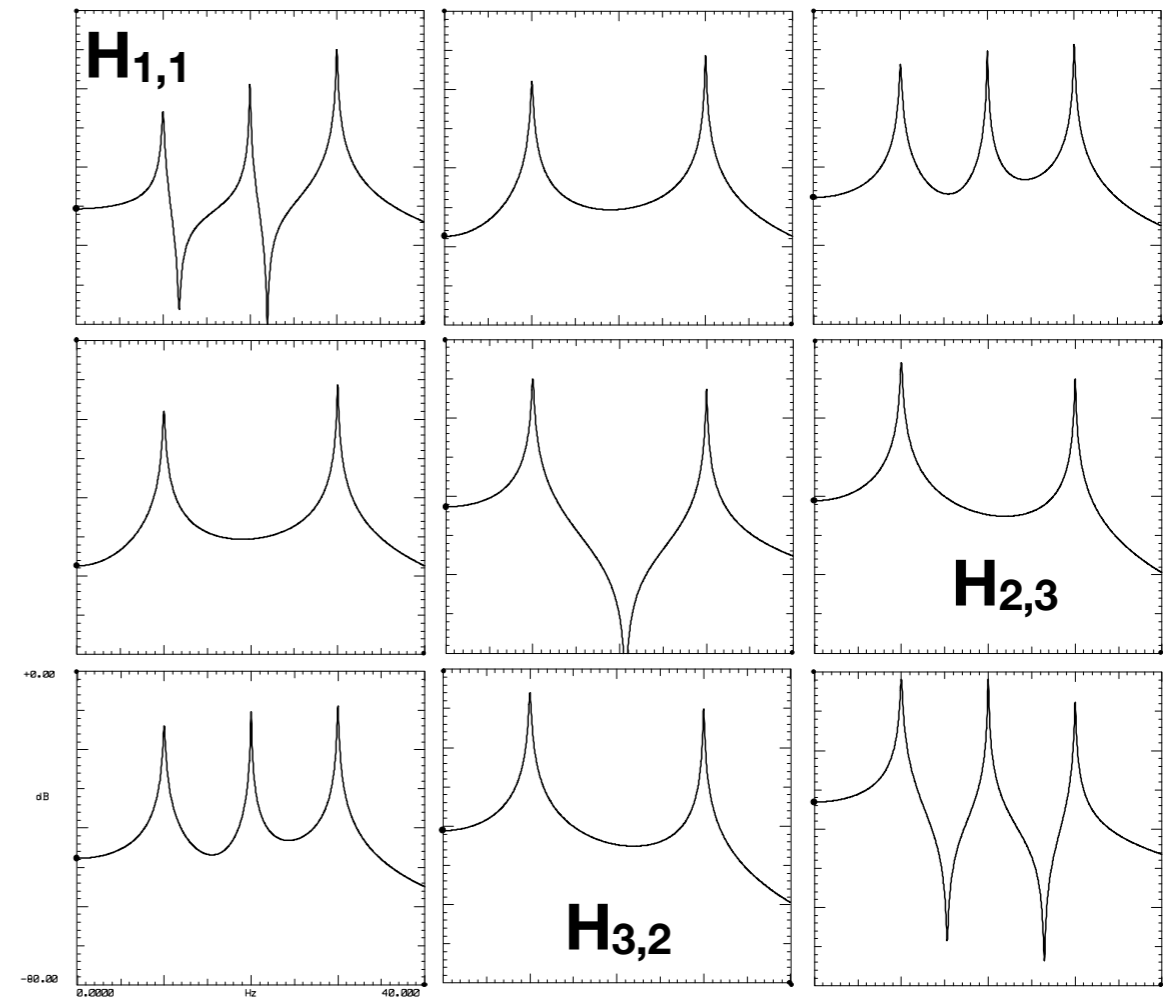
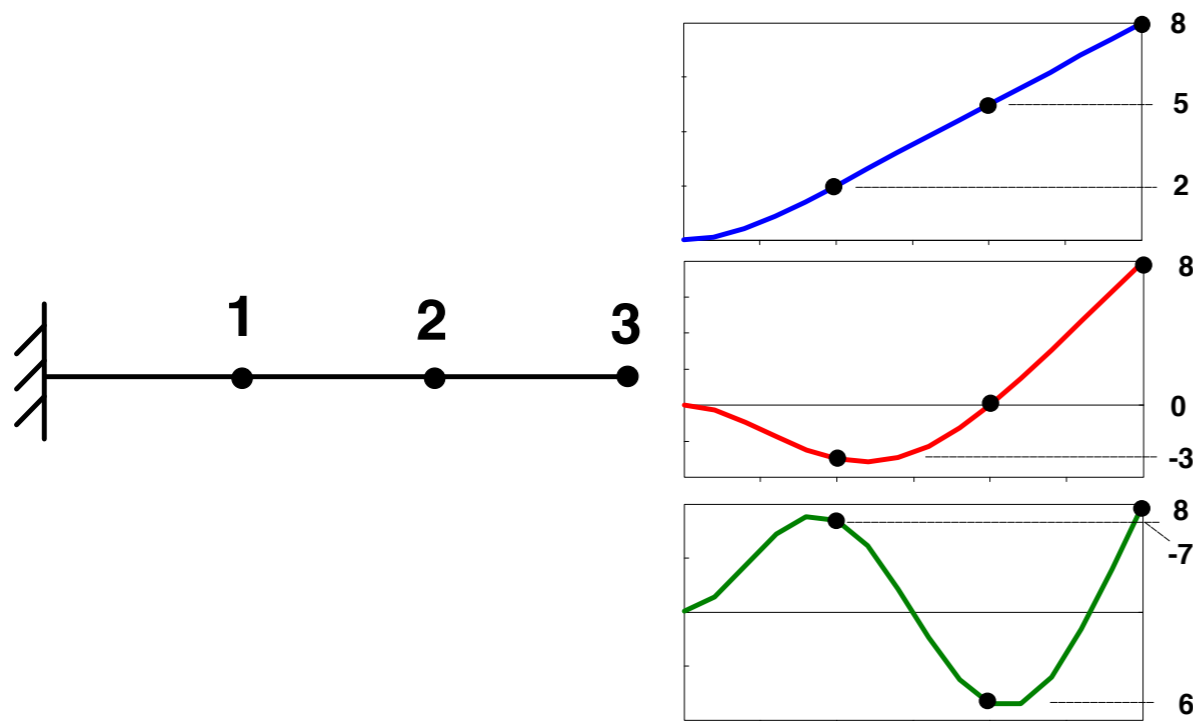


# 2.Éléments de dynamique des structures

## 2.4.Système n-ddl amorti forcé

Les **fonctions de réponses fréquentielles** peuvent relier différentes grandeurs physiques.

Ce sont des fonctions complexes de la pulsation d'excitation  $\omega$ .

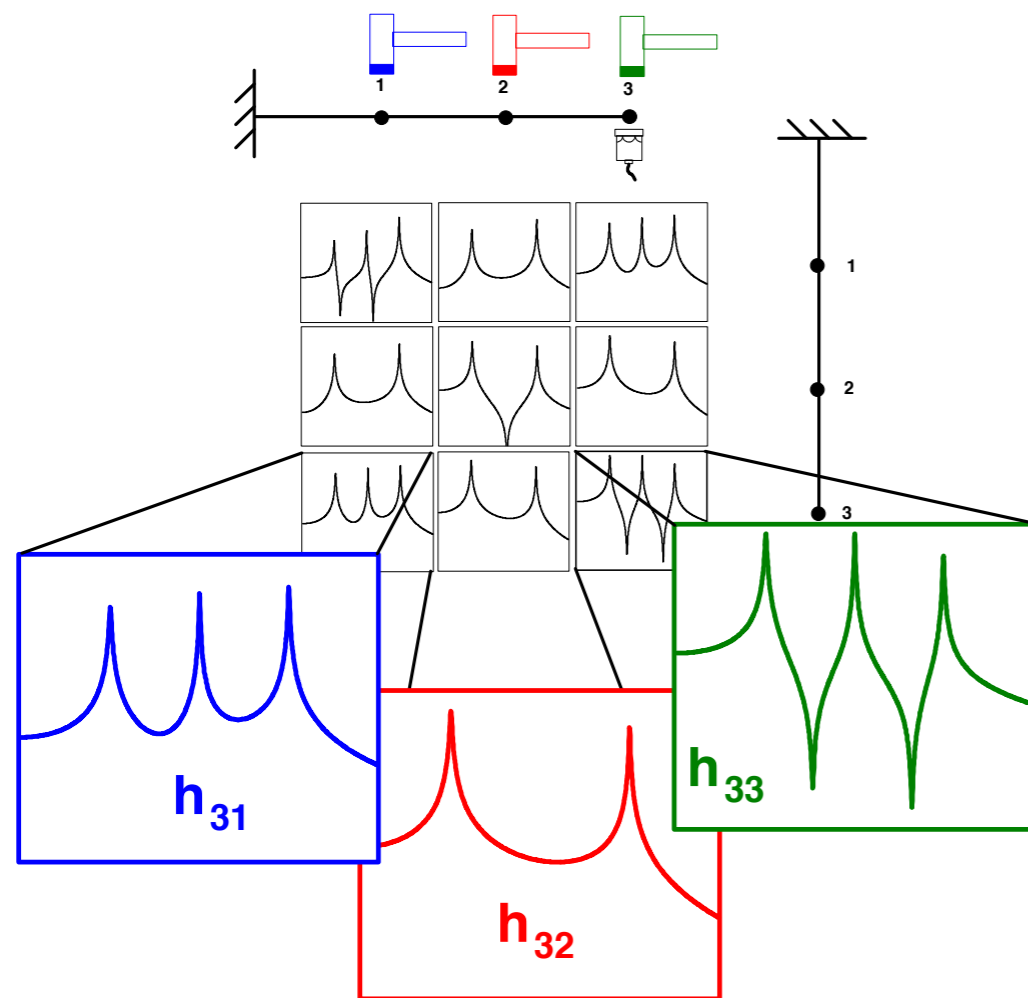




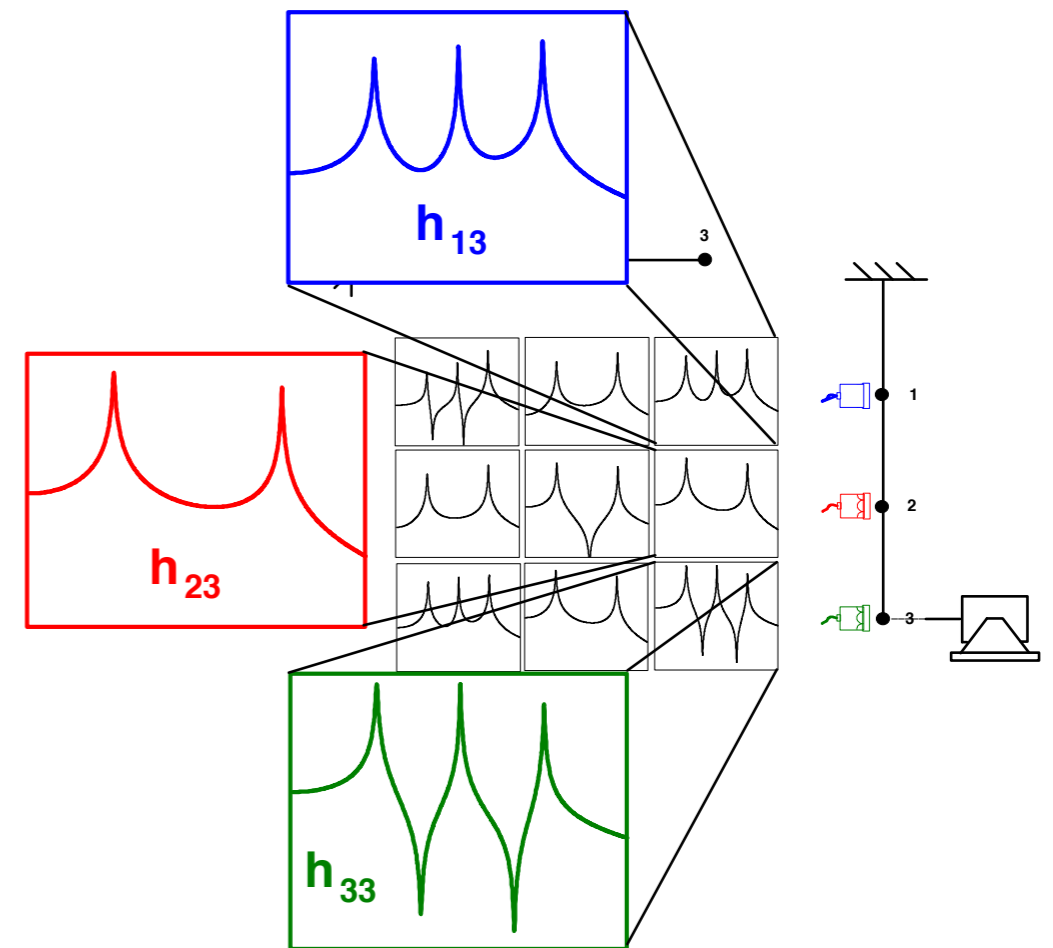
# 2.Éléments de dynamique des structures

## 2.4.Système n-ddl amorti forcé

Ces fonctions FRF traduisent, sous forme spectrale, l'amplification induite en point par une excitation en un autre point. On peut les calculer numériquement à partir d'un modèle, mais aussi les identifier expérimentalement, par analyse FFT.



**marteau de choc  
+ capteur (mesure en sortie) fixe**

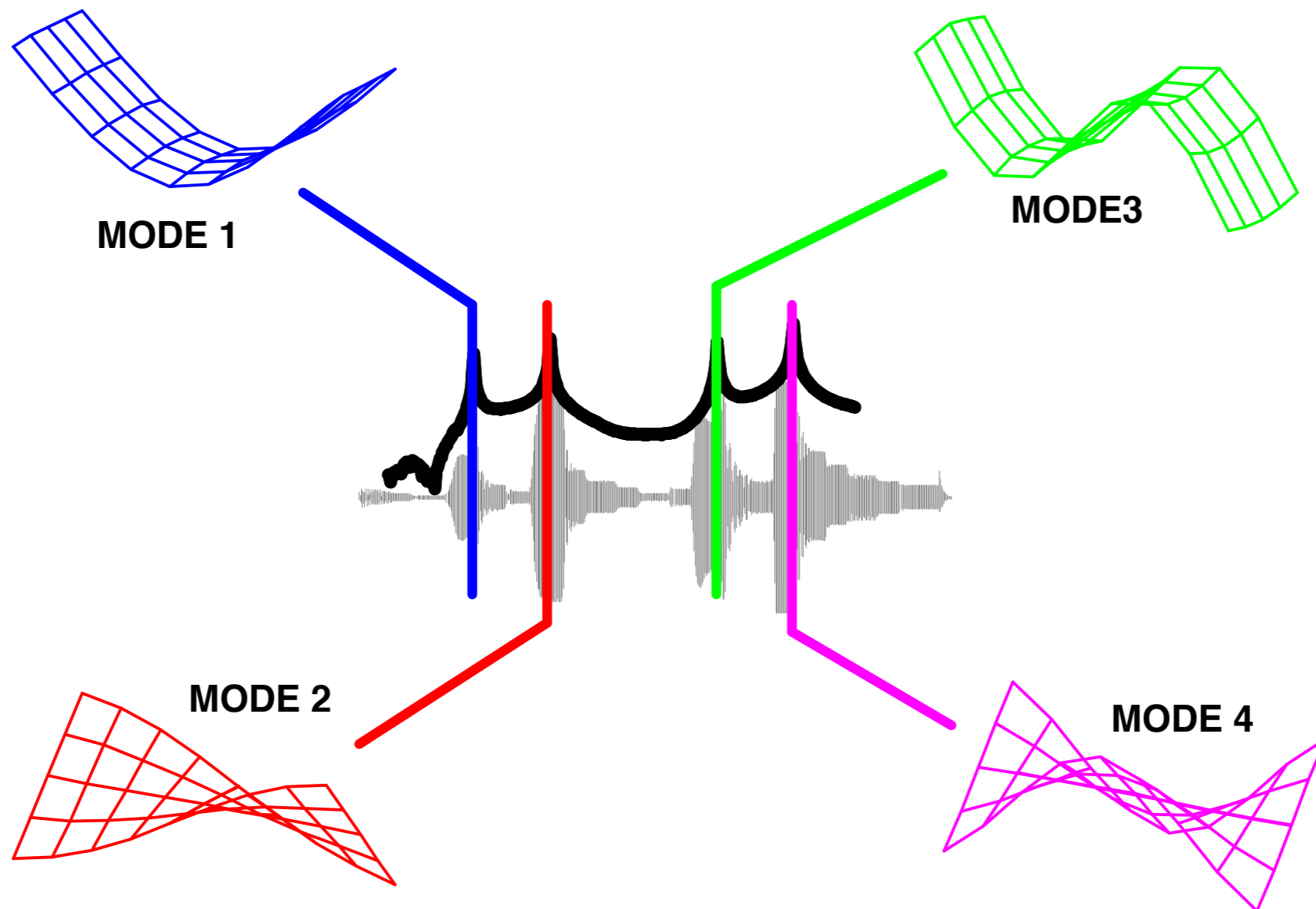


**vibrateur fixe  
+ capteur (mesure en sortie) mobile**

# 2.Éléments de dynamique des structures

## 2.4.Système n-ddl amorti forcé

Les **modes propres** correspondent au pics (amplification importantes) observés sur les FRF.

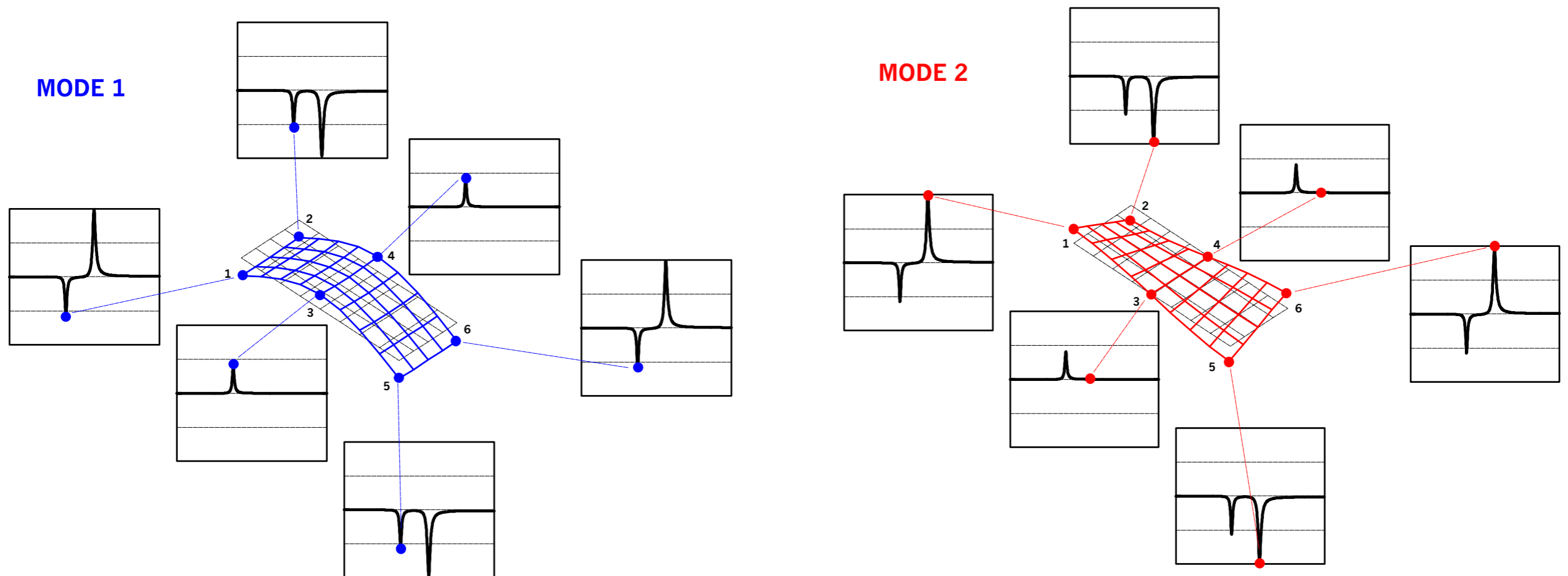


# 2.Éléments de dynamique des structures

## 2.4.Système n-ddl amorti forcé

Les **formes modales** sont les champs de déplacements associés à chaque modes, décrivant le mouvement de la structure à la fréquence propre correspondante.

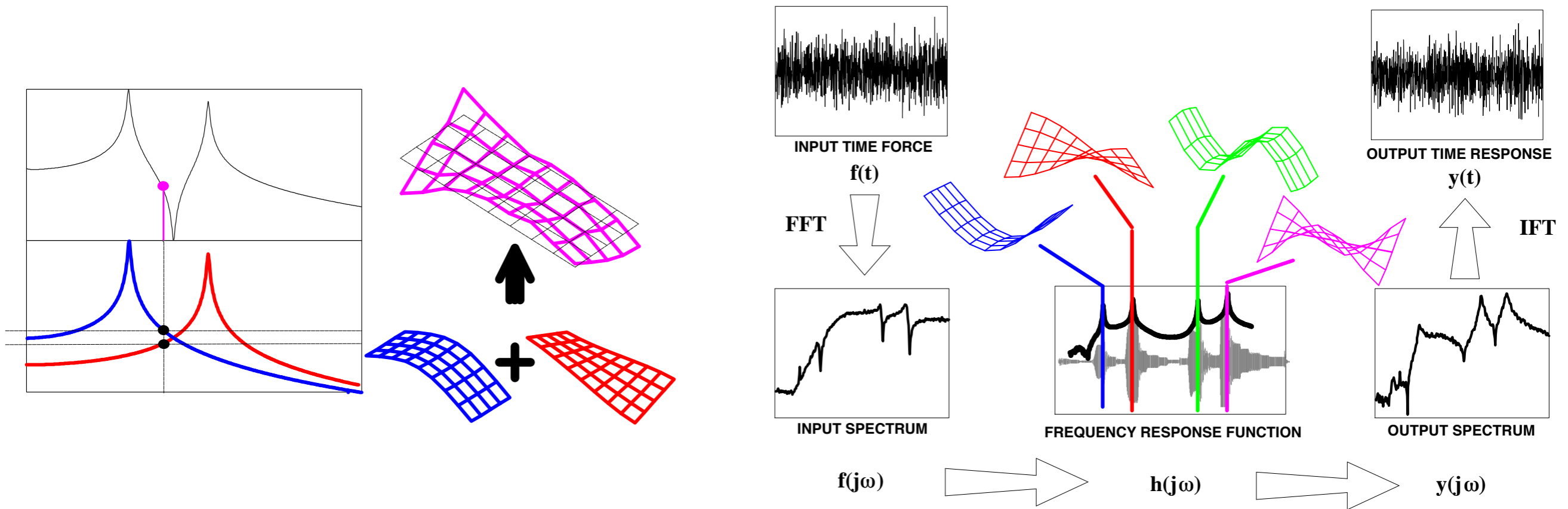
Ces formes se déduisent des valeurs complexes (amplitude + déphasage) des FRF de chaque point, prises pour la même fréquence propre.



# 2.Éléments de dynamique des structures

## 2.4.Système n-ddl amorti forcé

Les formes modales permettent, par recombinaisons linéaires des modes, de reconstituer les mouvements pour toute fréquence. La FRF agit entre deux points de la structure comme un filtre. On peut donc l'utiliser pour prédire la réponse à une entrée de contenu fréquentiel déterminé. Les fréquences propres sont des valeurs singulières pour lesquelles des mouvements importants peuvent présenter un danger pour la tenue de la structure.



# TD1

Structure : carte Epoxy ( $E = 3 \text{ GPa}$ ,  $d = 1$ ,  $\xi = 0.1$ ) de longueur 20 cm, largeur 10 cm, épaisseur 2mm, sur 2 appuis linéiques simples + 1 composant (ponctuel) 50g.

a) modèle 1 DDL

b) modèle 2 DDL (2 lignes à 6 cm de chaque bord)

Pour chaque cas :

- Etablir l'équation du mouvement
- Déterminer les fréquences propres et modes associés (scilab)
- Constituer la fonction de transfert ayant pour entrée :
  - une force sur le composant
  - l'accélération aux appuis

Fonctions scilab : eigs, bode, tf2ss, repfreq, syssslans..

# TD2

A partir de la fonction de transfert établie, calcul de la réponse pour différents signaux :

- sinus forcé, sinus balayé
- choc (dirac, demi-sinus...)
- bruit
  - uniforme
  - filtré BF (0-50 Hz)
  - large bande : 50 - 1 kHz

Fonctions scilab : tf2ss, csim, syslin...

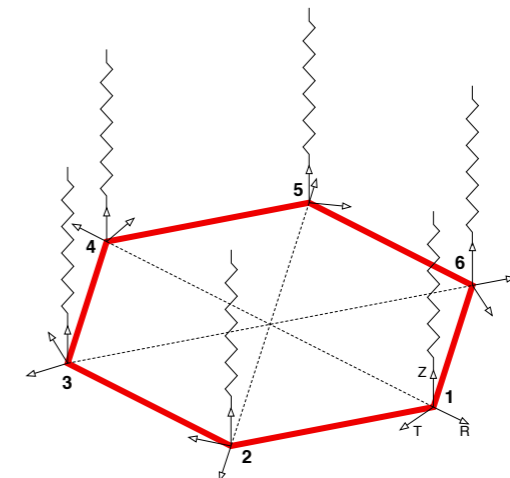
# TD3

A partir des FRF données, analyser les premiers modes :

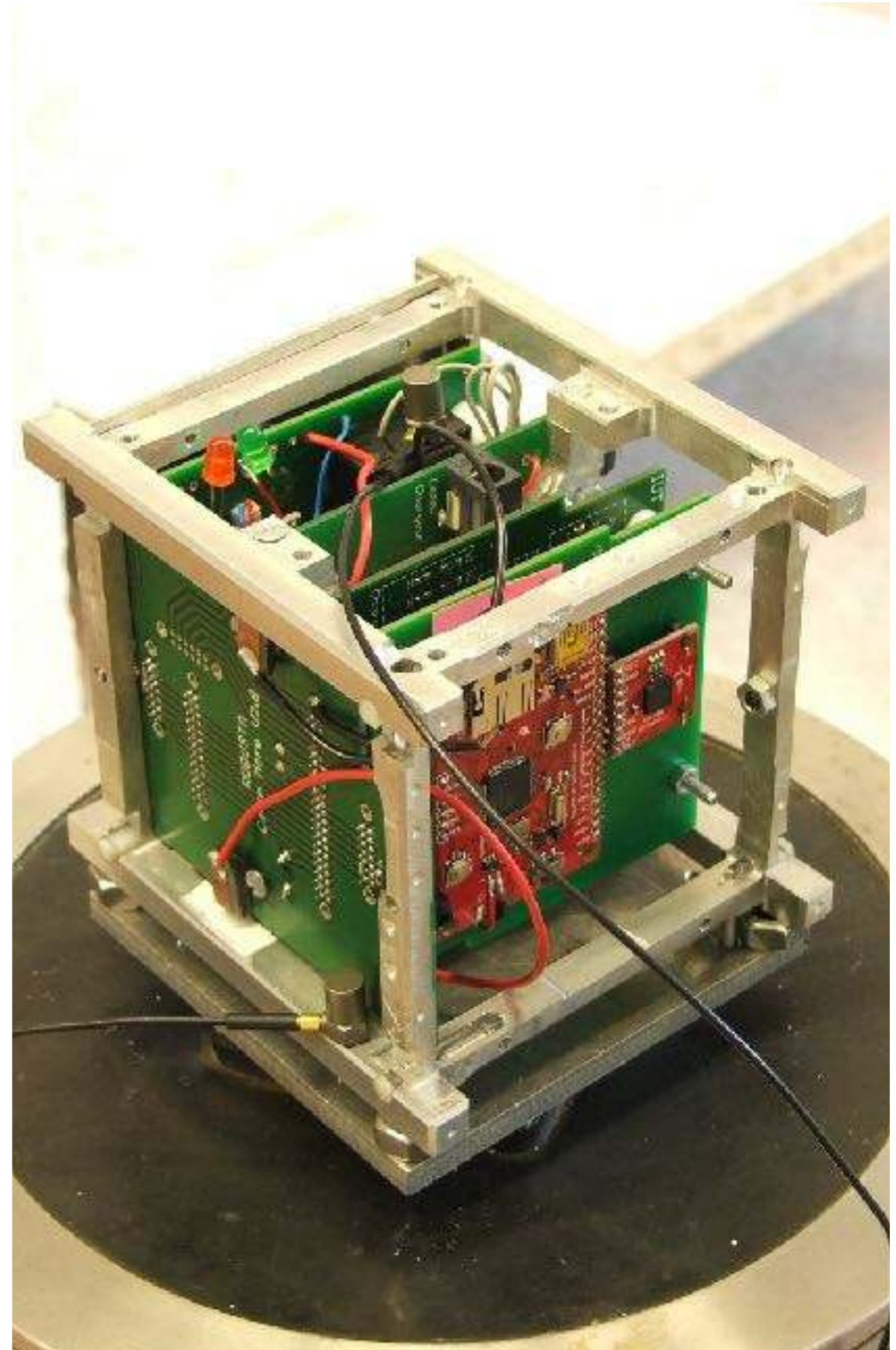
- fréquence propre
- coefficient d'amortissement
- formes modales (amplitude + déphasage en chaque point)



Fonctions scilab : readcsv, bode...

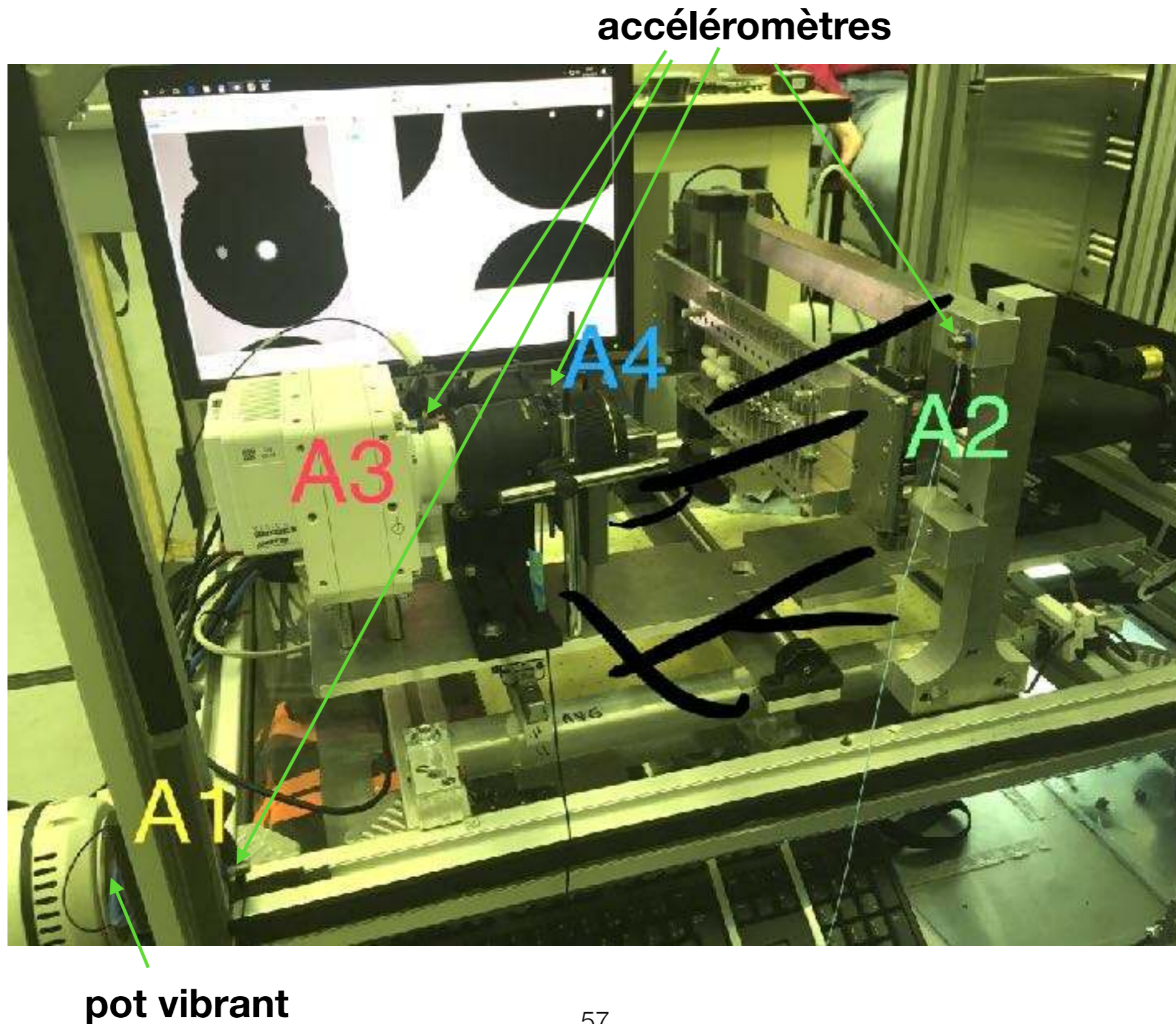


# 3. Mesures



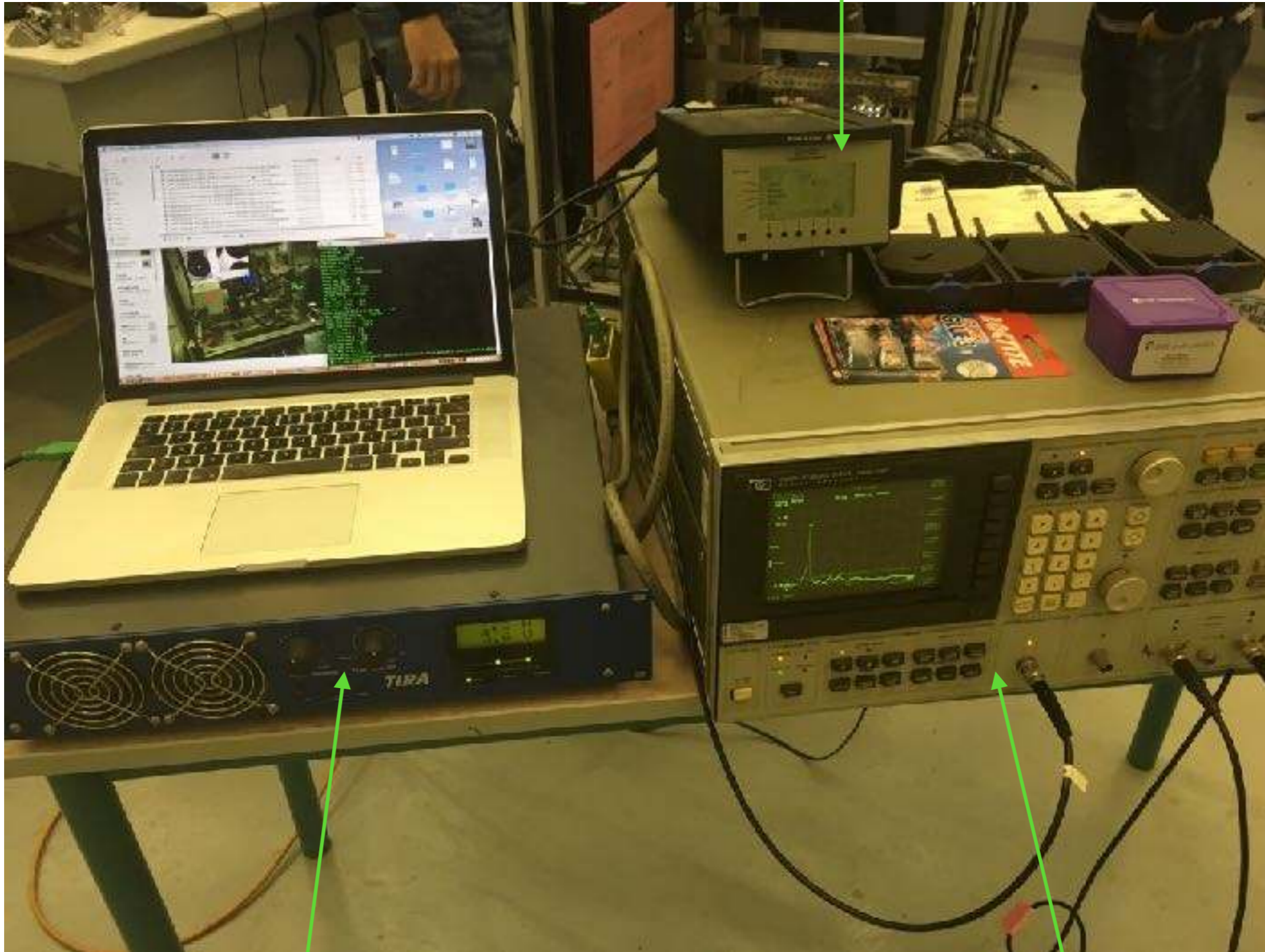


# 3. Mesures



# 3. Mesures

conditionneur  
de signaux

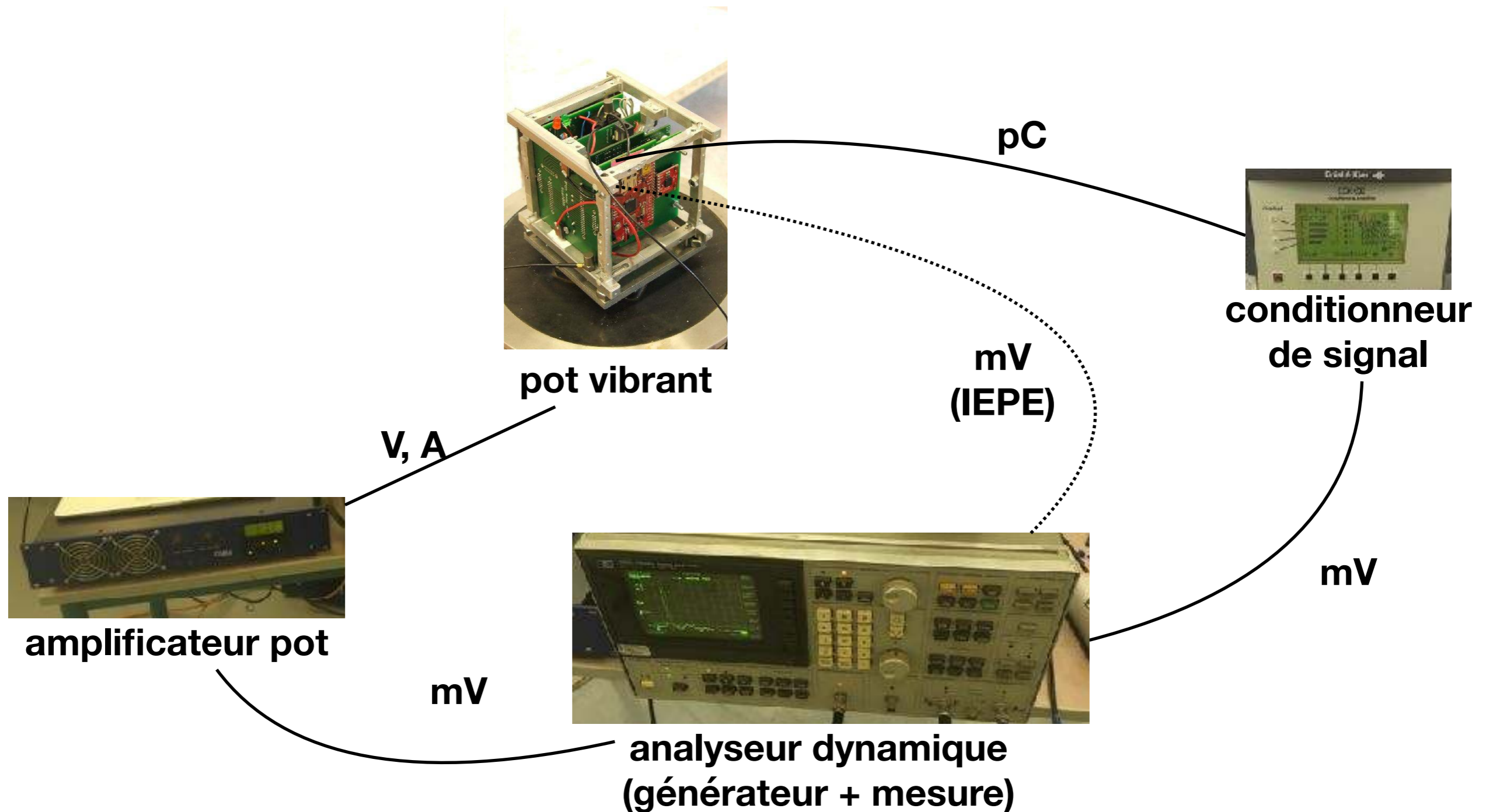


amplificateur pot

analyseur (générateur + traitement)

# 3. Mesures

Chaine typique de mesure et analyse



# 3. Mesures



capteurs

excitateur  
(marteau)

analyseur (acquisition + analyse)

# 3. Mesures

## 3.1. Capteurs

### REFINE PRODUCT SELECTION

Sensitivity

pC/ms<sup>-2</sup>

Frequency range

Hz

Temperature range

°C

Max. weight

g

Max. operational level

g



TYPE 4374

**Miniature piezoelectric charge accelerometer, side connector, integral cable**

Designed for high-level, high-frequency measurements in confined spaces and on delicate structures.



TYPE 4375

**Sub-miniature piezoelectric Charge Accelerometers, side connector, integral cable**

Designed for high-frequency measurements in confined spaces and on delicate structures.



TYPE 4392

**Hand-arm vibration transducer set, includes one miniature accelerometer Type 4374**

Designed for measuring whole-body vibration and is well suited for field and laboratory use.



TYPE 4393

**Piezoelectric charge accelerometer, incl. cable**

Designed for high-frequency low weight measurements.

# 3. Mesures

## 3.1. Capteurs

### Miniature DeltaTron® Accelerometer Types 4394 and 4397-A Piezoelectric Accelerometers

#### Features

- High frequency
- High sensitivity-to-mass ratio

#### Description

Types 4394 and 4397-A are piezoelectric DELTA-SHEAR® Unigain accelerometers with side connectors. Both transducers feature an M3 connection and can be mounted on the measurement object by means of an M3 threaded steel stud. The two types differ from each other in that Type 4394 has a ceramic isolated base.

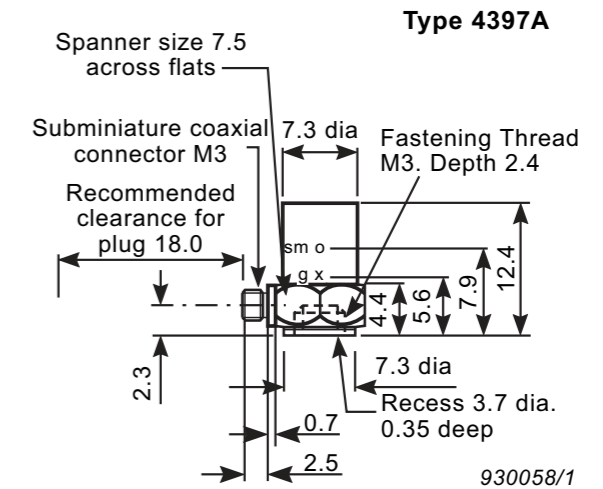
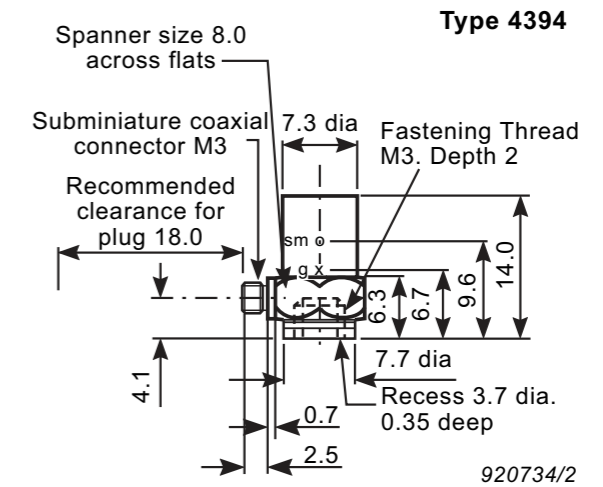
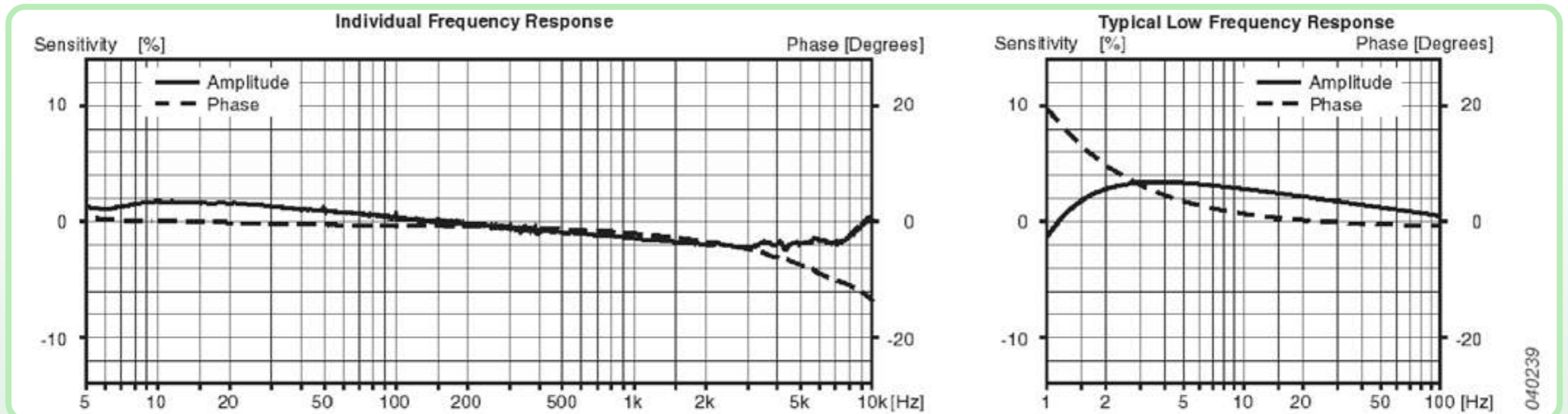


Fig. 1 Frequency response curves for Types 4394 and 4397-A



# 3. Mesures

## 3.1. Capteurs

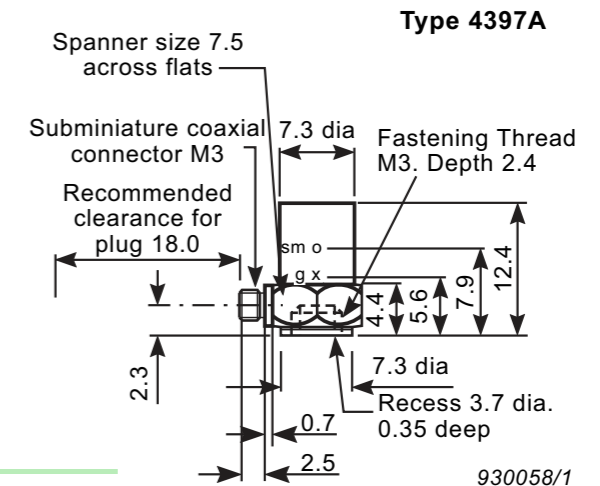
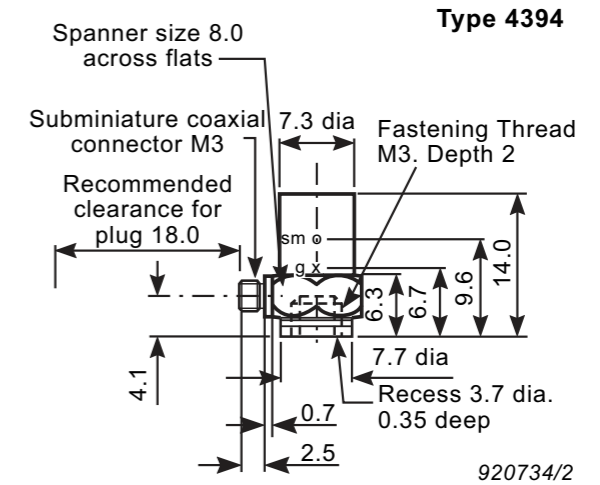
### Miniature DeltaTron® Accelerometer Types 4394 and 4397-A Piezoelectric Accelerometers

#### Features

- High frequency
- High sensitivity-to-mass ratio

#### Description

Types 4394 and 4397-A are piezoelectric DELTA-SHEAR® Unigain accelerometers with side connectors. Both transducers feature an M3 connection and can be mounted on the measurement object by means of an M3 threaded steel stud. The two types differ from each other in that Type 4394 has a ceramic isolated base.



### Specifications – Types 4394 and 4397-A\*

	Unit	4394	4397-A
<b>Dynamic Characteristic</b>			
Charge Sensitivity (@ 160.2 Hz)	mV/ms <sup>-2</sup>	1.0 ±2% <sup>†</sup>	
Measuring Range	g	± 500	
Frequency Response		See typical amplitude response	
Mounted Resonance Frequency	kHz	52	53
Amplitude Response ±10%	Hz	1 to 25000	
Residual Noise	mg	1.5	
Transverse Sensitivity	%	<4	

# 3. Mesures

## 3.2. Excitateur

Deux types :

- **Hydraulique:**
  - basse fréquence
  - grande course
  - grande force
- **Electrodynamique :**
  - haute fréquence

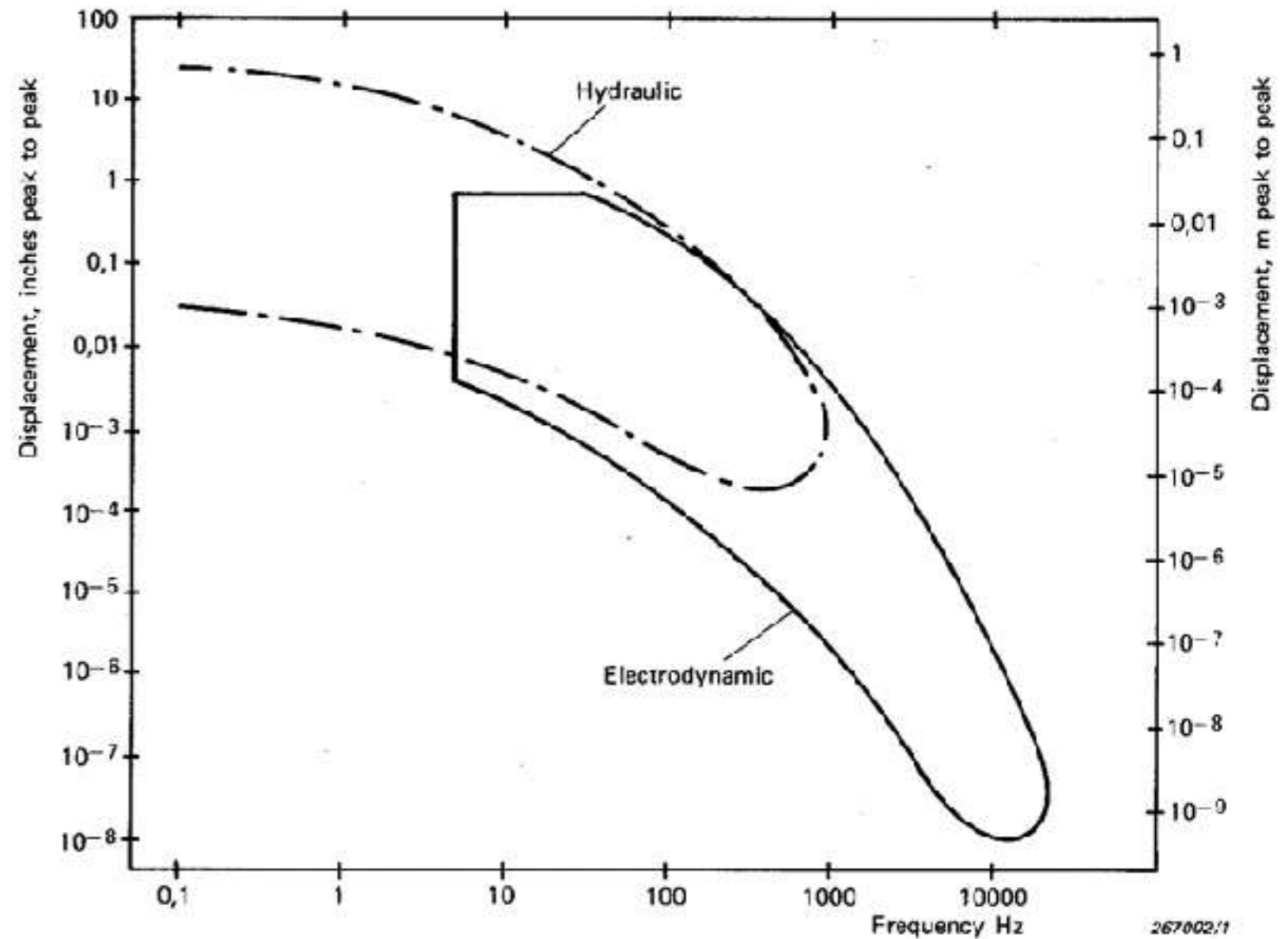


Fig.10.1. Useful operating regions of modern hydraulic and electro-dynamic vibration machines (after G.B. Booth)

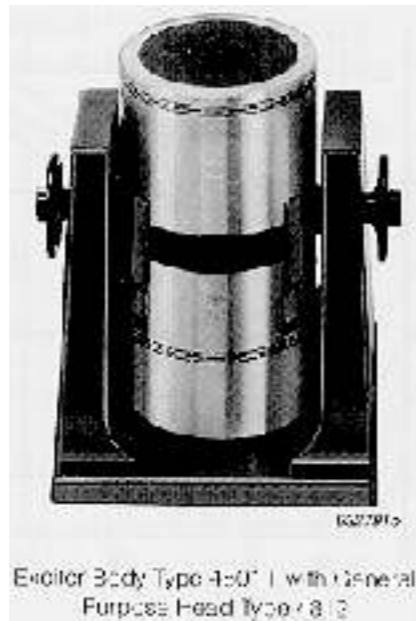


# 3. Mesures

## 3.2. Excitateur



100 N



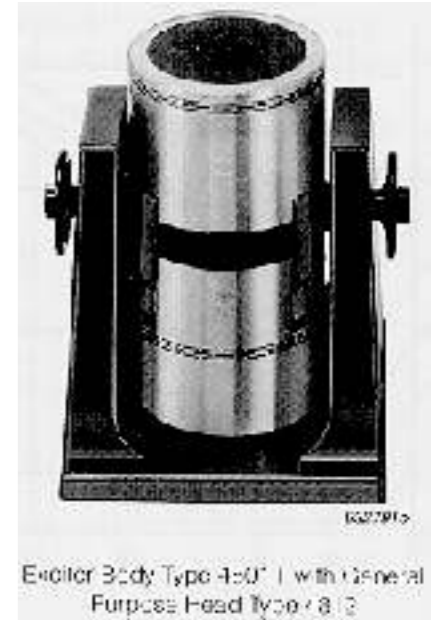
500 N - 12 mm pp



50 kN - 100 mm pp

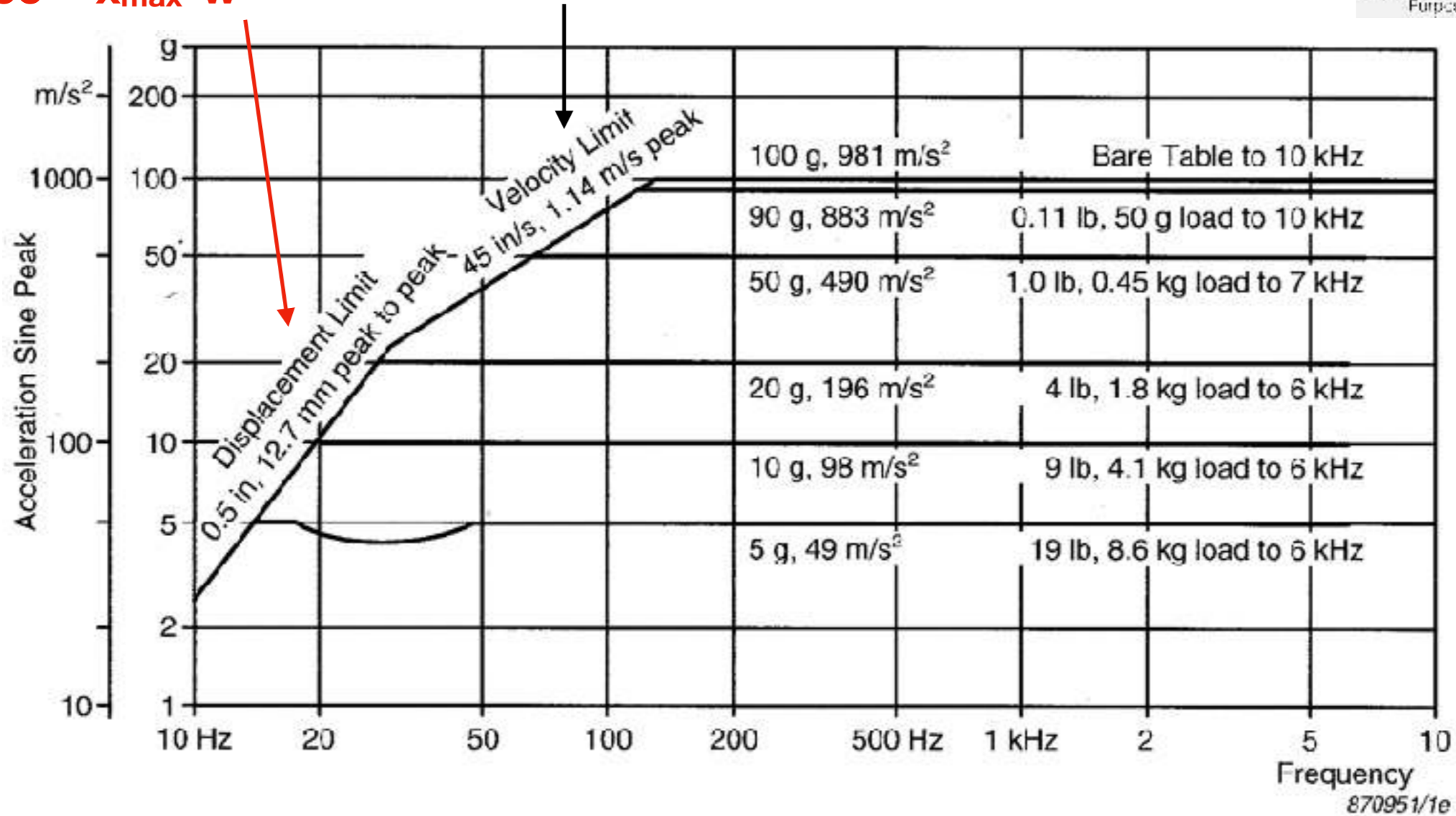
# 3. Mesures

## 3.2. Excitateur



**BF : limite  
en déplacement**  
**acc =  $x_{max} * \omega^2$**

**MF : limite  
en déplacement**



**HF : limite  
en force**  
**acc<sub>max</sub>**  
**=**  
**F<sub>max</sub>/m**

Fig.3 Sine performance, General Purpose Head Type 4812 and Exciter Body Type 4801

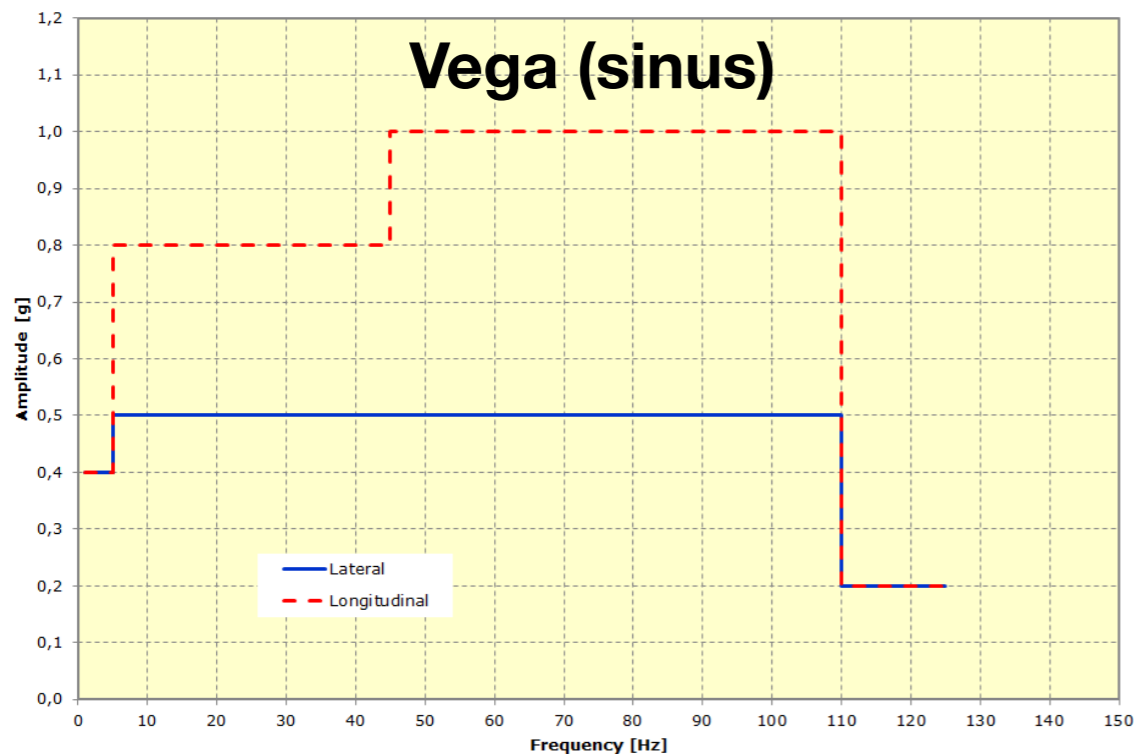
# 4. Essais

Le paramètre couramment utilisé pour définir le mouvement d'un système mécanique est **l'accélération**.

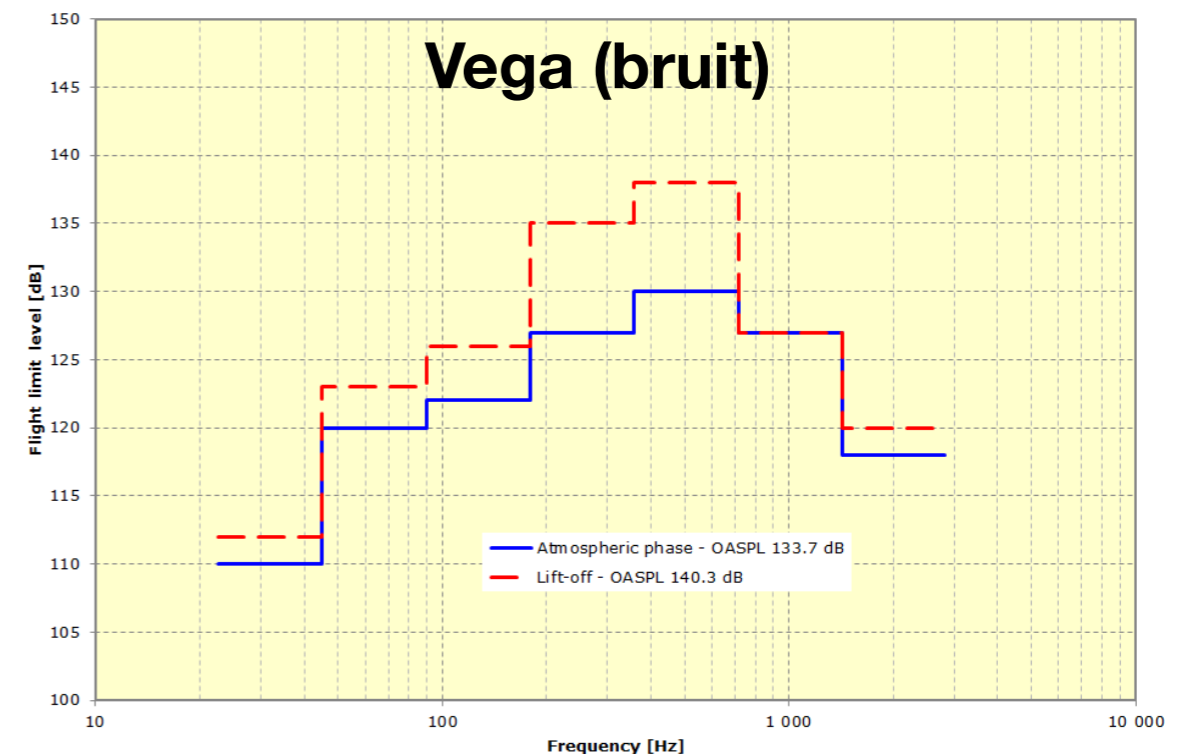
- Unité :  $m.s^{-2}$  ou  $g$  ( $= 9,81 m.s^{-2}$ )
- Domaine typique pour les structures spatiales : 0.01  $g$  to 10,000  $g$ .
- Domaine de fréquences : 0-200 Hz (sinus = résonances structure), 20-2000 Hz (aléatoire)
- Vibration aléatoire sous forme de Densité Spectrale de Puissance ( $g^2/Hz$ )

- Niveau Root Mean Square (RMS) =  $\sqrt{\frac{1}{t} \int_0^t y^2 dt}$

Sine-equivalent vibrations at spacecraft-to-adapter interface



Acoustic noise spectrum under the fairing



# 4.Essais

- Exemple spécification qualification sinus :

**Table 7: Sinusoidal qualification test levels for equipment with first frequency > 100 Hz and mass ≤ 50 kg**

<b>Frequency</b>	<b>Level</b>	<b>Remark</b>
(5 - 21) Hz	11 mm (0 - peak)	no notching
(21 - 60) Hz	20 g (0 - peak)	
(60 - 100) Hz	6 g (0 - peak)	

- (b) For equipment with first frequency > 100 Hz and mass > 50 kg the test levels are specified in Table 8.

# 4. Essais

- Exemple spécification random

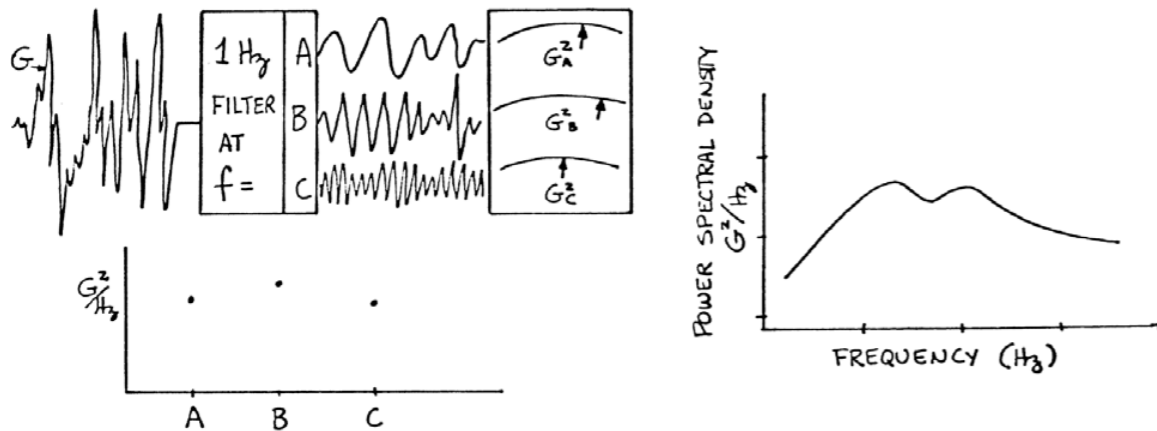


Table A-1: QAVT and AVT levels

Frequency (Hz)	QAVT	AVT
20	0,017 g <sup>2</sup> /Hz	0,01 g <sup>2</sup> /Hz
20 – 80	3 dB/octave	3 dB/octave
80 – 350	0,067 g <sup>2</sup> /Hz	0,040 g <sup>2</sup> /Hz
350 – 2000	-3 dB/octave	-3 dB/octave
2000	0,012 g <sup>2</sup> /Hz	0,007 g <sup>2</sup> /Hz
Test levels (r.m.s.)	7,87 gr.m.s.	6,06 gr.m.s.

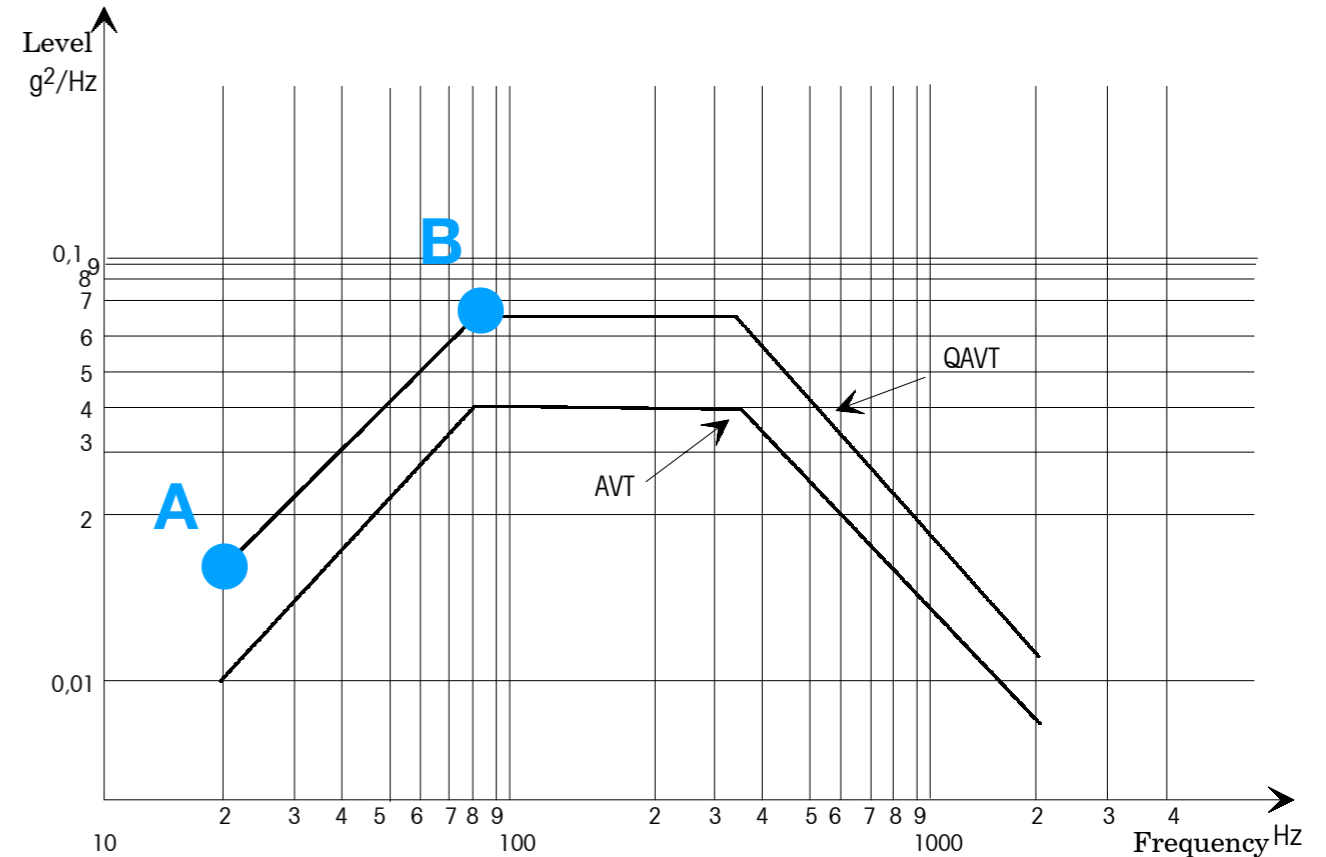


Figure A-2: Qualification and acceptance vibration test curves (QAVT/AVT)

- calcul niveau RMS (de A à B)

- $$a_{AB} = \Delta f^p \text{ où } p = \frac{\log a_B - \log a_A}{\log f_B - \log f_A} \text{ et } \Delta = a_A f_A^p$$

- $$\text{RMS}_{AB} = \frac{\Delta}{p + 1} (f_B^{p+1} - f_A^{p+1}) \text{ si } p \neq -1 \text{ ou } \Delta (\log f_B - \log f_A) \text{ si } p = -1$$

# TD4

Traitement signal temporel dans scilab -> niveau RMS  
(sinus, bruit), spectre, PSD, autocorrelation, cross-  
correlation, calcul FRF, fit —> modèle FRF

# Références

- ECSS-E-HB-32-26 - Spacecraft Mechanical Loads Analysis
- ECSS-E-10-03A - Testing
- An Introduction to Spacecraft Mechanical Loads Analysis  
- Adriano Calvi, PhD ESA / ESTEC, Noordwijk, The Netherlands